

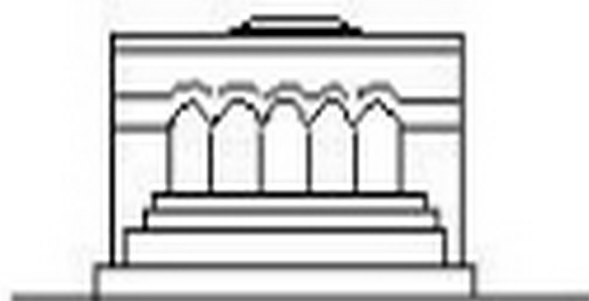
ՄԵՆԱՆԻԿԱ



МЕХАНИКА



MECHANICS



1968

В. С. ТОПОЯН

О РЕШЕНИИ СИММЕТРИЧНОЙ КОНТАКТНОЙ ЗАДАЧИ ДЛЯ ПОЛУПЛОСКОСТИ С ВКЛЮЧЕНИЕМ

Исследованию плоской контактной задачи теории упругости посвящено много работ [1—5]. В этих работах рассматривались контактные задачи для полуплоскости, слоя и полосы с различными граничными условиями, а также задачи для составных полуплоскостей, причем линии раздела различных материалов принимались параллельными граничной линии. Позже были рассмотрены контактные задачи для квадранта [6, 7].

Во всех этих работах принималось, что свойства упругого материала и направлениях, параллельных границе полуплоскости, не изменяются.

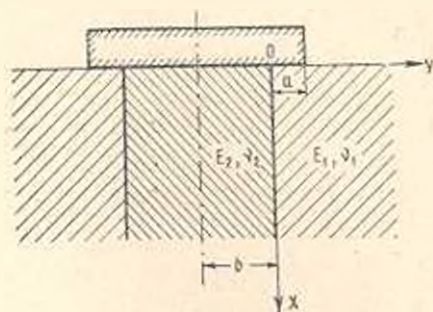
В работе Н. Х. Арутюняна и А. А. Баблояна [8] рассматривалась задача о давлении жесткого штампа, приложенного на части границы упругой составной полуплоскости. Было принято, что составная полуплоскость состоит из двух однородных и изотропных квадрантов с различными упругими свойствами, линии раздела материалов которых перпендикулярны границе полуплоскости. Предполагалось, что трение между штампом и материалами отсутствует, а штамп находится на обоих материалах одновременно.

В настоящей работе получено решение задачи о давлении жесткого штампа с основанием произвольной формы, приложенного на части горизонтальной границы упругой составной полуплоскости. Полуплоскость состоит из трех однородных и изотропных частей: двух квадрантов и полуполосы между ними, при этом квадранты изготовлены из одного материала, а полуполоса — из другого материала. Квадранты и полуполоса соединены друг с другом так, что составляют одну полуплоскость. На горизонтальной границе полуплоскости приложен жесткий штамп с гладким основанием так, что штамп находится одновременно на всех материалах и расположен симметрично относительно линии $y = -b$ (фиг. 1). Предполагается, что трение между штампом и материалами отсутствует. Для простоты принимается также, что граница полуплоскости вне штампа свободна от внешних усилий.

В силу симметрии граничных условий относительно линии $y = -b$ можно ограничиться рассмотрением только правой половины упругой составной полуплоскости, требуя при этом, чтобы на линии $y = -b$ выполнялись условия

$$\tau_{xy}(x, -b) = v(x, -b) = 0 \quad (0 < x < \infty)$$

Поставленная задача сводится к определению одной бигармонической функции.



Фиг. 1.

Полагая, что эта функция в области полуполосы принимает значения $\Phi_2(x, y)$, а в области квадранта — $\Phi_1(x, y)$. Ищем функции $\Phi_i(x, y)$ ($i = 1, 2$) в виде

$$\begin{aligned} \Phi_2(x, y) = & \int_0^{\infty} [A_1(\alpha) + \alpha x B_1(\alpha)] e^{-\alpha y} \sin \alpha y d\alpha + \\ & + \int_0^{\infty} [C_1(\beta) + \beta y D_1(\beta)] e^{-\beta x} \cos \beta x d\beta \quad (0 \leq x < \infty, 0 \leq y < \infty) \end{aligned} \quad (1)$$

$$\begin{aligned} \Phi_1(x, y) = & \int_0^{\infty} [A_2(\alpha) \operatorname{ch} \alpha y + B_2(\alpha) \operatorname{sh} \alpha y + \alpha y (C_2(\alpha) \operatorname{ch} \alpha y + \\ & + D_2(\alpha) \operatorname{sh} \alpha y)] \cos \alpha x d\alpha + \sum_{k=1}^{\infty} (G_k + \beta_k x F_k) e^{-\beta_k x} \sin \beta_k y \\ & (0 \leq x < \infty, -b \leq y \leq 0) \\ & \beta_k = \frac{(2k-1)\pi}{2b} \end{aligned}$$

Здесь $A_i(\alpha)$, $B_i(\alpha)$, $C_i(\beta)$, $D_i(\beta)$, G_k и F_k ($i = 1, 2$) — неизвестные функции и коэффициенты, подлежащие определению из граничных условий и условий контакта.

Используя обычные формулы для определения напряжений и перемещений [1], будем иметь

$$\begin{aligned} \sigma_{xx}^{(1)} = & - \int_0^{\infty} \alpha^2 [A_1(\alpha) + \alpha x B_1(\alpha)] e^{-\alpha y} \sin \alpha y d\alpha + \\ & + \int_0^{\infty} \beta^2 [C_1(\beta) - 2D_1(\beta) + \beta y D_1(\beta)] e^{-\beta x} \cos \beta x d\beta \end{aligned}$$

$$u_y^{(1)} = \int_0^{\infty} x^2 [A_1(x) - 2B_1(x) + \alpha x B_1(x)] e^{-\alpha x} \sin \alpha y dx - \\ - \int_0^{\infty} \beta^2 [C_1(\beta) + \beta y D_1(\beta)] e^{-\beta y} \cos \beta x d\beta$$

$$v_{xy}^{(1)} = \int_0^{\infty} x^2 [A_1(x) - B_1(x) + \alpha x B_1(x)] e^{-\alpha x} \cos \alpha y dx - \\ - \int_0^{\infty} \beta^2 [C_1(\beta) - D_1(\beta) + \beta y D_1(\beta)] e^{-\beta y} \sin \beta x d\beta$$

$$u_1(x, y) = \frac{1}{E_1} \left\{ \int_0^{\infty} [(1 - \nu_1) A_1(\alpha) + (1 - \nu_1) B_1(\alpha) + \right. \\ \left. + (1 + \nu_1) \alpha x B_1(\alpha)] e^{-\alpha x} \sin \alpha y dx + \int_0^{\infty} \beta [(1 + \nu_1) C_1(\beta) - 2D_1(\beta) + \right. \\ \left. + (1 + \nu_1) \beta y D_1(\beta)] e^{-\beta y} \sin \beta x d\beta \right\}$$

$$v_1(x, y) = \frac{1}{E_1} \left\{ - \int_0^{\infty} x [(1 + \nu_1) A_1(\alpha) - 2B_1(\alpha) + \right. \\ \left. + (1 + \nu_1) \alpha x B_1(\alpha)] e^{-\alpha x} \cos \alpha y dx + \int_0^{\infty} \beta [(1 + \nu_1) C_1(\beta) + (1 - \nu_1) D_1(\beta) + \right. \\ \left. + (1 + \nu_1) \beta y D_1(\beta)] e^{-\beta y} \cos \beta x d\beta \right\}$$

$$u_r^{(2)}(x, y) = \int_0^{\infty} x^2 \{ [A_2(x) + 2D_2(x)] \operatorname{ch} \alpha y + [B_2(x) + 2C_2(x)] \operatorname{sh} \alpha y + \\ + \alpha y [C_2(x) \operatorname{ch} \alpha y + D_2(x) \operatorname{sh} \alpha y] \} \cos \alpha x dx - \sum_{k=1}^{\infty} \beta_k^2 (G_k + \beta_k x F_k) e^{-\beta_k x} \sin \beta_k y$$

(2)

$$v_y^{(2)}(x, y) = - \int_0^{\infty} x^2 \{ [A_2(x) \operatorname{ch} \alpha y + B_2(x) \operatorname{sh} \alpha y + \alpha y (C_2(x) \operatorname{ch} \alpha y + \\ + D_2(x) \operatorname{sh} \alpha y)] \cos \alpha x dx + \sum_{k=1}^{\infty} \beta_k^2 (G_k - 2F_k + \beta_k x F_k) e^{-\beta_k x} \sin \beta_k y$$

$$\begin{aligned} \varepsilon_{xy}^{(2)}(x, y) = & \int_0^x \{ [A_2(z) + D_2(z)] \operatorname{sh} zy + [B_2(z) + C_2(z)] \operatorname{ch} zy + \\ & + zy [C_2(z) \operatorname{sh} zy + D_2(z) \operatorname{ch} zy] \} \sin \alpha x dx - \sum_{k=1}^{\infty} \beta_k \{ G_k - F_k + \\ & + \beta_k x F_k \} e^{-\beta_k x} \cos \beta_k y \end{aligned}$$

$$\begin{aligned} u_2(x, y) = & \frac{1}{E_2} \left\{ \int_0^x \{ [(1 + \nu_2) A_2(z) + 2D_2(z)] \operatorname{ch} zy + [(1 + \nu_2) B_2(z) + \right. \\ & + 2C_2(z)] \operatorname{sh} zy + (1 + \nu_2) zy [C_2(z) \operatorname{ch} zy + D_2(z) \operatorname{sh} zy] \} \sin \alpha x dx + \\ & \left. + \sum_{k=1}^{\infty} \beta_k [(1 + \nu_2) G_k + (1 - \nu_2) F_k + (1 + \nu_2) \beta_k x F_k] e^{-\beta_k x} \sin \beta_k y \right\} \end{aligned}$$

$$\begin{aligned} v_2(x, y) = & -\frac{1}{E_2} \left\{ \int_0^x \{ [(1 + \nu_2) A_2(z) - (1 - \nu_2) D_2(z)] \operatorname{sh} zy + [(1 + \nu_2) B_2(z) - \right. \\ & - (1 - \nu_2) C_2(z)] \operatorname{ch} zy + (1 + \nu_2) zy [C_2(z) \operatorname{sh} zy + D_2(z) \operatorname{ch} zy] \} \cos \alpha x dx + \\ & \left. + \sum_{k=1}^{\infty} \beta_k [(1 + \nu_2) G_k - 2F_k + (1 + \nu_2) \beta_k x F_k] e^{-\beta_k x} \cos \beta_k y \right\} \end{aligned}$$

где E_i и ν_i ($i = 1, 2$) — модуль упругости и коэффициент Пуассона соответственно, $u_1, v_1, \varepsilon_{xy}^{(1)}, \sigma_x^{(1)}$ и $\sigma_y^{(1)}$ — перемещения и напряжения точек квадранта, а $u_2, v_2, \varepsilon_{xy}^{(2)}, \sigma_x^{(2)}$ и $\sigma_y^{(2)}$ — перемещения и напряжения точек полуполосы.

Граничные условия в рассматриваемой задаче имеют вид

$$\begin{aligned} u_1(0, y) = f_1(y) & \quad (0 \leq y \leq a) \\ \sigma_x^{(1)}(0, y) = 0 & \quad (a < y < \infty) \end{aligned} \quad (3)$$

$$\begin{aligned} \varepsilon_{xy}^{(1)}(0, y) = 0 & \quad (0 \leq y < \infty) \\ u_2(0, y) = f_2(y) & \quad (-b \leq y < 0) \\ \varepsilon_{xy}^{(2)}(0, y) = 0 & \end{aligned} \quad (4)$$

где

$$f^*(y) = \begin{cases} f_1(y) & 0 \leq y \leq a \\ f_2(y) & -b \leq y < 0 \end{cases}$$

— гладкая функция.

Условия симметрии относительно оси $y = -b$ примут вид

$$\varepsilon_{xy}^{(2)}(x, -b) = v_2(x, -b) = 0 \quad \text{при } 0 \leq x < \infty \quad (5)$$

а условия контакта или жесткого соединения полуполосы с квадрантом выражаются равенствами

$$\begin{aligned} u_1(x, 0) &= u_2(x, 0), & \varphi_y^{(1)}(x, 0) &= \varphi_y^{(2)}(x, 0) \\ v_1(x, 0) &= v_2(x, 0), & \varphi_{xy}^{(1)}(x, 0) &= \varphi_{xy}^{(2)}(x, 0) \end{aligned} \quad (6)$$

Удовлетворяя граничным условиям (4), получим

$$G_1 = F_1 = \frac{E_2}{b\beta_1} \int_0^y f_1(y) \sin \beta_1 y dy \quad (7)$$

Используя граничные условия (3), для неизвестных функций $A_1(z)$ и $B_1(z)$ получаем следующие „парные“ интегральные уравнения

$$\int_0^{\infty} z A_1(z) \sin zy dz = f(y) \quad (0 < y < a) \quad (8)$$

$$\int_0^{\infty} a^2 A_1(z) \sin zy dz = g(y) \quad (a < y < \infty)$$

$$A_1(z) = B_1(z) \quad (9)$$

где

$$f(y) = \frac{E_2}{2} f_1(y)$$

$$g(y) = \int_0^{\infty} \beta^2 [C_1(\beta) - 2D_1(\beta) - \beta y D_1(\beta)] e^{-\beta y} d\beta \quad (10)$$

Удовлетворяя теперь условиям симметрии (5), условиям контакта двух материалов (6) и пользуясь при этом формулами обращения для преобразования Фурье, получим следующие соотношения:

$$\begin{aligned} &-(1 + \nu_2) A_2(z) \operatorname{sh} bz + (1 + \nu_2) B_2(z) \operatorname{ch} bz + [(1 + \nu_2) bz \operatorname{sh} bz - \\ &-(1 - \nu_2) \operatorname{ch} bz] C_2(z) + [(1 - \nu_2) \operatorname{sh} bz - (1 + \nu_2) bz \operatorname{ch} bz] D_2(z) = 0 \end{aligned} \quad (11)$$

$$\begin{aligned} &-A_2(z) \operatorname{sh} bz + B_2(z) \operatorname{ch} bz + [\operatorname{ch} bz + bz \operatorname{sh} bz] C_2(z) - \\ &-[\operatorname{sh} bz + bz \operatorname{ch} bz] D_2(z) = 0 \end{aligned}$$

$$A_2(z) (1 + \nu_2)/E_2 + D_2(z) 2/E_2 = C_1(z) (1 + \nu_1)/E_1 - D_1(z) 2/E_1$$

$$C_1(z) = A_2(z)$$

$$C_1(\beta) - D_1(\beta) + B_1(\beta) + C_2(\beta) = \frac{2}{\pi\beta} \int_0^{\infty} \frac{\alpha^2 B_1(z) dz}{(z^2 + \beta^2)^2} - \frac{4}{\pi\beta} \sum_{k=1}^{\infty} \frac{\beta_k^2 F_1}{(\beta_k^2 + \beta^2)^2} \quad (12)$$

$$[(1 + \nu_1) C_1(\beta) + (1 - \nu_1) D_1(\beta)] E_1 + [(1 + \nu_2) B_2(\beta) - (1 - \nu_2) C_2(\beta)] E_2 = \\ = -\frac{4}{E_1 \pi \beta} \int_0^\infty \frac{x^2 (\beta^2 - \nu_1 x^2) B_1(x)}{(x^2 + \beta^2)^2} dx + \frac{4}{\pi \beta E_2} \sum_{k=1}^{\infty} \frac{\beta_k^2 (\beta^2 - \nu_2 \beta_k^2) F_k}{(\beta_k^2 + \beta^2)^2}$$

Из уравнений (11), выразив $A_2(x)$, $B_2(x)$, $C_2(x)$ и $D_2(x)$ через функции $C_1(x)$ и $D_1(x)$, получим

$$A_2(x) = C_1(x)$$

$$B_2(x) = C_1(x) \operatorname{th} bx - \frac{E_2}{2} \frac{bx}{\operatorname{ch}^2 bx} \left[\left(\frac{1 + \nu_1}{E_1} - \frac{1 + \nu_2}{E_2} \right) C_1(x) - \frac{2}{E_1} D_1(x) \right]$$

$$C_2(x) = \frac{E_2}{2} \left[\left(\frac{1 + \nu_1}{E_1} - \frac{1 + \nu_2}{E_2} \right) C_1(x) - \frac{2}{E_1} D_1(x) \right] \operatorname{th} bx \quad (13)$$

$$D_2(x) = \frac{E_2}{2} \left[\left(\frac{1 + \nu_1}{E_1} - \frac{1 + \nu_2}{E_2} \right) C_1(x) - \frac{2}{E_1} D_1(x) \right]$$

Подставляя значения $B_2(\beta)$ и $C_2(\beta)$ из (13) в уравнения (12) и решая полученную систему относительно функций $C_1(\beta)$ и $D_1(\beta)$, выразим их через $A_1(\beta)$, то есть

$$C_1(\beta) = \left[\frac{1 - \nu_1}{E_1} - \frac{1 + \nu_1}{E_1} \frac{b\beta}{\operatorname{ch}^2 b\beta} - \frac{1 - \nu_2}{E_1} \operatorname{th} b\beta \right] \frac{M(\beta)}{K(\beta)} + \\ + \left[1 + \frac{E_2}{E_1} \left(\operatorname{th} b\beta + \frac{b\beta}{\operatorname{ch}^2 b\beta} \right) \right] \frac{N(\beta)}{K(\beta)} \quad (14)$$

$$D_1(\beta) = - \left[\frac{1 + \nu_1}{E_1} - \frac{1 + \nu_2}{E_2} \operatorname{th} b\beta + \frac{1}{2} \left(\frac{1 + \nu_1}{E_1} - \frac{1 + \nu_2}{E_2} \right) \left[\frac{(1 + \nu_2) b\beta}{\operatorname{ch}^2 b\beta} - \right. \right. \\ \left. \left. - (1 - \nu_2) \operatorname{th} b\beta \right] \right] \frac{M(\beta)}{K(\beta)} + \left[1 + \operatorname{th} b\beta + \frac{E_2}{2} \left(\operatorname{th} b\beta + \frac{b\beta}{\operatorname{ch}^2 b\beta} \right) \left(\frac{1 + \nu_1}{E_1} - \right. \right. \\ \left. \left. - \frac{1 + \nu_2}{E_2} \right) \right] \frac{N(\beta)}{K(\beta)}$$

где введены обозначения

$$M(\beta) = \frac{4}{\pi \beta} \left[\int_0^\infty \frac{x^4 A_1(x)}{(x^2 + \beta^2)^2} dx - \sum_{k=1}^{\infty} \frac{\beta_k^4 F_k}{(\beta_k^2 + \beta^2)^2} \right]$$

$$N(\beta) = \frac{4}{\pi \beta} \left[-\frac{1}{E_1} \int_0^\infty \frac{x^2 (\beta^2 - \nu_1 x^2) A_1(x)}{(x^2 + \beta^2)^2} dx + \frac{1}{E_2} \sum_{k=1}^{\infty} \frac{\beta_k^2 (\beta^2 - \nu_2 \beta_k^2)}{(\beta_k^2 + \beta^2)^2} F_k \right]$$

$$K(\beta) = \frac{2}{E_1} + \left[\frac{(1 + \nu_1)(3 - \nu_1) E_2}{2E_1} + \frac{(1 + \nu_2)(3 - \nu_2)}{2E_2} - \right.$$

$$\begin{aligned}
& - \frac{(1 + \nu_1)(1 - \nu_2)}{E_1} \left| \operatorname{th} b\beta \right| + \left| \frac{(1 + \nu_1)(3 - \nu_1) E_2}{2E_1^2} - \frac{(1 + \nu_2)^2}{2E_2} \right. \\
& - \frac{(1 - \nu_1)(1 + \nu_2)}{E_1} \left. \right| \frac{b\beta}{\operatorname{ch}^2 b\beta} - \frac{E_2(1 - \nu_2)}{2E_1} \left(\frac{1 + \nu_1}{E_1} - \frac{1 + \nu_2}{E_2} \right) \frac{b\beta}{\operatorname{ch}^2 b\beta} \operatorname{th} b\beta + \\
& + \left| \frac{2\nu_2}{E_1} - \frac{E_2(1 - \nu_2)}{E_1} \left(\frac{1 + \nu_1}{E_1} - \frac{1 + \nu_2}{E_2} \right) \right| \operatorname{th}^2 b\beta \quad (15)
\end{aligned}$$

Выразим теперь из парных интегральных уравнений (8) функцию $A_1(x)$ через функции $C_1(\beta)$ и $D_1(\beta)$.

Для этого умножим первое уравнение (8) на $y(t^2 - y^2)^{-1/2} dy$, проинтегрируем по y от нуля до t и продифференцируем полученное соотношение по t . Умножая второе уравнение (8) на $(y^2 - t^2)^{-1/2} dy$ и интегрируя по y от t до ∞ , получим

$$\frac{\pi}{2} \int_0^t x^2 A_1(x) t J_0(xt) dx = \frac{d}{dt} \int_0^t \frac{y f(y) dy}{\sqrt{t^2 - y^2}} \quad 0 < t < a \quad (16)$$

$$\frac{\pi}{2} \int_0^{\infty} x^2 A_1(x) J_0(xt) dx = \int_t^{\infty} \frac{g(y) dy}{\sqrt{y^2 - t^2}} \quad a < t < \infty$$

где $J_0(x)$ — функция Бесселя первого рода с действительным аргументом.

Здесь использованы значения следующих интегралов [11]:

$$\int_0^t \frac{y \sin xy}{\sqrt{t^2 - y^2}} dy = \frac{\pi}{2} t J_1(xt), \quad \int_t^{\infty} \frac{\sin xy}{\sqrt{y^2 - t^2}} dy = \frac{\pi}{2} J_0(xt)$$

Используя формулу обращения для преобразования Ханкеля, получим

$$\frac{\pi}{2} A_1(x) = \int_0^a \varphi(t) J_0(xt) dt + \int_a^{\infty} t F(t) J_0(xt) dt \quad (17)$$

Подставляя значения функции $A_1(x)$ из (17) в (15), получим

$$M(\beta) = \frac{8}{\pi^2 \beta} \left\{ \int_0^a \varphi(t) \chi(\beta t) dt + \int_a^{\infty} t F(t) \chi(\beta t) dt \right\} - \frac{4}{\pi^2} \sum_{k=1}^{\infty} \frac{\beta_k^2 F_k}{(\beta_k^2 + \beta^2)^2} \quad (18)$$

$$N(\beta) = \frac{8}{\pi^2 \beta} \left\{ \int_0^a \varphi(t) R(\beta t) dt + \int_a^{\infty} t F(t) R(\beta t) dt \right\} + \frac{4}{\pi^2} \sum_{k=1}^{\infty} \frac{\beta_k^2 (\beta^2 - \nu_2 \beta_k^2) F_k}{(\beta_k^2 + \beta^2)^2}$$

Здесь введены обозначения

$$F(t) = \int_0^{\infty} \frac{x(y) dy}{V y^2 - t^2} = \int_0^{\infty} \beta^2 [(C_1(\beta) - 2D_1(\beta)) K_0(\beta t) + \beta t D_1(\beta) K_1(\beta t)] d\beta$$

$$\varphi(t) = \frac{d}{dt} \int_0^{\infty} \frac{y f(y) dy}{V t^2 - y^2}, \quad \chi(z) = K_0(z) - \frac{z}{2} K_1(z) \quad (19)$$

$$R(z) = \frac{\nu_1}{E_1} K_0(z) - \frac{1 + \nu_1}{2E_1} z K_1(z)$$

где $K_i(z)$ — функции Макдональда.

При получении формул (18) и (19) были использованы значения следующих интегралов [11]:

$$\int_0^{\infty} \frac{e^{-\beta y} dy}{V y^2 - t^2} = K_0(\beta t), \quad \int_0^{\infty} \frac{y e^{-\beta y} dy}{V y^2 - t^2} = t K_1(\beta t)$$

$$\int_0^{\infty} \frac{z J_0(\alpha t) dz}{(z^2 + \beta^2)^2} = \frac{t}{2\beta} K_1(\beta t), \quad \int_0^{\infty} \frac{z^3 J_0(\alpha t) dz}{(z^2 + \beta^2)^2} = K_0(\beta t) - \frac{\beta t}{2} K_1(\beta t)$$

Исключая теперь функции $C_1(\beta)$ и $D_1(\beta)$ из соотношений (15), (18) и первой формулы (19), для определения функции $F(t)$ получим интегральное уравнение Фредгольма второго рода

$$F(x) = \Omega(x) + \int_0^{\infty} t F(t) K(x, t) dt \quad (20)$$

где введены обозначения

$$K(x, t) = \frac{8}{\pi^2} \int_0^{\infty} \beta [\Delta_1(\beta) K_0(\beta x) \chi(\beta t) + \Delta_2(\beta) K_0(\beta x) R(\beta t) + \\ + \beta x \Delta_3(\beta) K_1(\beta x) \chi(\beta t) + \beta x \Delta_4(\beta) K_1(\beta x) R(\beta t)] d\beta \quad (21)$$

$$\Omega(x) = \int_0^{\infty} \varphi(t) K(x, t) dt + \frac{4}{\pi} \sum_{k=1}^{\infty} \beta_k^2 F_k \int_0^{\infty} \frac{\beta}{(\beta^2 + \beta_k^2)^2} \left[-\beta_k^2 \Delta_1(\beta) K_0(\beta x) + \right. \\ \left. + \frac{\beta^2 - \nu_2 \beta_k^2}{E_2} \Delta_2(\beta) K_0(\beta x) - \beta x \beta_k^2 \Delta_3(\beta) K_1(\beta x) + \beta x \frac{\beta^2 - \nu_2 \beta_k^2}{E_1} \Delta_4(\beta) K_1(\beta x) \right] d\beta \quad (22)$$

$$\Delta_1(\beta) = \frac{1}{K(\beta)} \left[\frac{\beta + \nu_1}{E_1} + \left[\frac{(1 + \nu_2)(\beta - \nu_2)}{E_2} - \frac{(1 - \nu_2)(2 + \nu_1)}{E_1} \right] \text{th } b\beta + \right. \\ \left. + \left[\frac{\nu_1(1 + \nu_2)}{E_1} - \frac{(1 + \nu_2)^2}{E_2} \right] \frac{b\beta}{\text{ch}^2 b\beta} \right]$$

$$\begin{aligned} \Delta_0(\beta) &= \frac{1}{K(\beta)} \left\{ -1 + \left| 1 - \nu_2 + \frac{(2 + \nu_1) E_2}{E_1} \right| \operatorname{th} \beta \beta + \right. \\ &= \left. \left| \frac{(2 + \nu_1) E_2}{E_1} - (1 + \nu_2) \right| \frac{\beta^3}{\operatorname{ch}^2 \beta \beta} \right\} \end{aligned} \quad (23)$$

$$\begin{aligned} \Delta_2(\beta) &= -\frac{1}{K(\beta)} \left\{ \frac{1 + \nu_1}{E_1} + \frac{1}{2} \left| \frac{(1 + \nu_2)(3 - \nu_2)}{E_2} - \frac{(1 + \nu_1)(1 - \nu_2)}{E_1} \right| \operatorname{th} \beta \beta + \right. \\ &+ \left. \frac{1}{2} \left| \frac{(1 + \nu_1)(1 + \nu_2)}{E_1} - \frac{(1 + \nu_2)^2}{E_2} \right| \frac{\beta^3}{\operatorname{ch}^2 \beta \beta} \right\} \end{aligned}$$

$$\begin{aligned} \Delta_4(\beta) &= \frac{1}{K(\beta)} \left\{ 1 + \frac{1}{2} \left| 1 - \nu_2 + \frac{(1 + \nu_1) E_2}{E_1} \right| \operatorname{th} \beta \beta + \right. \\ &+ \left. \frac{1}{2} \left| \frac{(1 + \nu_1) E_2}{E_1} - (1 + \nu_2) \right| \frac{\beta^3}{\operatorname{ch}^2 \beta \beta} \right\} \end{aligned}$$

Ядро интегрального уравнения (20) представляет собой интеграл со слабой сходимостью, который в конечном виде не вычисляется. Для улучшения сходимости этого интеграла (21) представим его в следующем виде:

$$\begin{aligned} K(x, t) &= \frac{8}{\pi^2} \int_0^{\beta} \left\{ \Delta_1(\infty) K_0(\beta x) \gamma(\beta t) + \Delta_2(\infty) K_0(\beta x) R(\beta t) + \right. \\ &+ \beta x \Delta_3(\infty) K_1(\beta x) \gamma(\beta t) + \beta x \Delta_4(\infty) K_1(\beta x) R(\beta t) \left. \right\} d\beta + \\ &+ \frac{8}{\pi^2} \int_0^{\beta} \left\{ \beta \left[\Delta_1(\beta) - \Delta_1(\infty) \right] K_0(\beta x) \gamma(\beta t) + \left[\Delta_2(\beta) - \Delta_2(\infty) \right] K_0(\beta x) R(\beta t) + \right. \\ &+ \beta x \left[\Delta_3(\beta) - \Delta_3(\infty) \right] K_1(\beta x) \gamma(\beta t) + \beta x \left[\Delta_4(\beta) - \Delta_4(\infty) \right] K_1(\beta x) R(\beta t) \left. \right\} d\beta \end{aligned} \quad (24)$$

где

$$\begin{aligned} \Delta_1(\infty) &= \frac{1}{K(\infty)} \left\{ \frac{3 + \nu_1}{E_1} + \left| \frac{(1 + \nu_2)(3 - \nu_2)}{E_2} - \frac{(1 - \nu_2)(2 - \nu_1)}{E_1} \right| \right\} \\ \Delta_2(\infty) &= \frac{1}{K(\infty)} \left\{ \frac{(2 + \nu_1) E_2}{E_1} - \nu_2 \right\} \\ \Delta_3(\infty) &= -\frac{1}{K(\infty)} \left\{ \frac{1 + \nu_1}{E_1} + \frac{1}{2} \left| \frac{(1 + \nu_2)(3 - \nu_2)}{E_2} - \frac{(1 + \nu_1)(1 - \nu_2)}{E_1} \right| \right\} \\ \Delta_4(\infty) &= -\frac{1}{K(\infty)} \left\{ 1 + \frac{1}{2} \left| 1 - \nu_2 + \frac{(1 + \nu_1) E_2}{E_1} \right| \right\} \\ K(\infty) &= \frac{2}{E_1} + \frac{(1 - \nu_1)(3 - \nu_1) E_2}{2E_1^2} + \frac{(1 + \nu_2)(3 - \nu_2)}{2E_2} - \frac{(1 + \nu_1)(1 - \nu_2)}{E_1} \end{aligned}$$

Имея в виду значения интегралов [11]

$$\int_0^1 \beta K_0(\beta x) K_0(\beta t) d\beta = \frac{\ln(t/x)}{t^2 - x^2}$$

$$\int_0^1 \beta^2 K_0(\beta x) K_1(\beta t) d\beta = \frac{x^2 - t^2 + 2t^2 \ln t/x}{t(t^2 - x^2)^2} \quad (26)$$

$$\int_0^1 \beta^3 K_1(\beta x) K_1(\beta t) d\beta = 2 \frac{t^4 - x^4 - 4x^2 t^2 \ln t/x}{tx(t^2 - x^2)^3}$$

замечаем, что первый интеграл в выражении (24) вычисляется, а второй интеграл уже сходится быстрее, потому что выражения $[\Delta_i(\beta) - \Delta_i(\infty)]$ ($i = 1, 2, 3, 4$) затухают по экспоненциальному закону.

Следовательно, ядро $K(x, t)$ примет вид

$$K(x, t) = I_1(x, t) + I_2(x, t) \quad (27)$$

где

$$I_1(x, t) = \frac{8}{\pi^2} \left\{ -\frac{\Delta_2(\infty)}{E_1} \frac{\ln t/x}{t^2 - x^2} + \left[\frac{\Delta_1(\infty)}{2} + \frac{\nu_1 + 1}{2E_1} \Delta_2(\infty) + \Delta_3(\infty) + \frac{\nu_1 \Delta_4(\infty)}{E_1} \right] \frac{t^2 - x^2 - 2x^2 \ln t/x}{(t^2 - x^2)^2} - \left[\Delta_3(\infty) + \frac{\nu_1 + 1}{E_1} \Delta_4(\infty) \right] \frac{t^4 - x^4 - 4x^2 t^2 \ln t/x}{(t^2 - x^2)^3} \right\} \quad (28)$$

$$I_2(x, t) = \frac{8}{\pi^2} \int_0^1 \beta \{ [\Delta_1(\beta) - \Delta_1(\infty)] K_0(\beta x) \gamma(\beta t) + [\Delta_2(\beta) - \Delta_2(\infty)] K_0(\beta x) R(\beta t) + \beta x [\Delta_3(\beta) - \Delta_3(\infty)] K_1(\beta x) \gamma(\beta t) + \beta x [\Delta_4(\beta) - \Delta_4(\infty)] K_1(\beta x) R(\beta t) \} d\beta$$

Упростим интегральное уравнение (20). Для этого в уравнении (20) перейдем к новым переменным следующим образом: принимая, что $a \neq 0$, переменную интегрирования t заменим через $t = ae^z$, а переменную (параметр) x заменим через $x = ae^y$. После таких преобразований уравнение (20) примет вид

$$F_1(y) = \Omega_1(y) + \int_0^1 K_1(y, z) F_1(z) dz \quad (29)$$

где

$$K_1(y, z) = I_1(y, z) + I_2(y, z)$$

$$\begin{aligned}
 I_1'(\gamma, \xi) = & \frac{8}{\pi^2} e^{(\gamma-\xi)} \left\{ -\frac{\Delta_2(\infty)}{E_1} \frac{\xi - \gamma}{1 - e^{2(\gamma-\xi)}} + \left| \frac{\Delta_1(\infty)}{2} + \frac{\gamma_1 + 1}{2E_1} \Delta_2(\infty) + \right. \right. \\
 & + \Delta_3(\infty) + \frac{\gamma_1 \Delta_3(\infty)}{E_1} \left. \left| \frac{1 - e^{2(\gamma-\xi)} - 2(\xi - \gamma) e^{-2(\gamma-\xi)}}{(1 - e^{2(\gamma-\xi)})^2} - \right. \right. \\
 & \left. \left. - \left| \Delta_3(\infty) + \frac{\gamma_1 + 1}{E_1} \Delta_4(\infty) \right| \frac{1 - e^{2(\gamma-\xi)} - 4(\xi - \gamma) e^{2(\gamma-\xi)}}{(1 - e^{2(\gamma-\xi)})^2} \right\} \quad (30)
 \end{aligned}$$

$$\begin{aligned}
 I_2'(\gamma, \xi) = & \frac{8}{\pi^2} a^2 e^{2\xi} e^{(\gamma-\xi)} \int_0^{\xi} \{ [\Delta_1(\beta) - \Delta_1(\infty)] K_0(\beta a e^\gamma) \gamma (\beta a e^\xi) + \\
 & + [\Delta_2(\beta) - \Delta_2(\infty)] K_0(\beta a e^\gamma) R(\beta a e^\xi) + [\Delta_3(\beta) - \Delta_3(\infty)] a \beta e^\gamma K_1(\beta a e^\gamma) \gamma (\beta a e^\xi) + \\
 & + [\Delta_4(\beta) - \Delta_4(\infty)] a \beta e^\gamma K_1(\beta a e^\gamma) R(\beta a e^\xi) \} d\beta \\
 \Omega_1(\gamma) = & \int_0^{\eta} e^{-\xi} \gamma_1(\xi) K_1(\gamma, \xi) d\xi - \\
 & + \frac{4}{\pi} e^\gamma \sum_{k=1}^{\infty} \beta_k^2 F_k \int_0^{\xi} \frac{\beta}{(\beta^2 + \beta_k^2)^2} \left| -\beta_k^2 \Delta_1(\beta) K_0(\beta a e^\gamma) + \right. \\
 & + \frac{\beta^2 - \gamma_0 \beta_k^2}{E_2} \Delta_2(\beta) K_0(\beta a e^\gamma) - \beta a e^\gamma \beta_k^2 \Delta_3(\beta) K_1(\beta a e^\gamma) + \\
 & \left. + \beta a e^\gamma \frac{\beta^2 - \gamma_0 \beta_k^2}{E_2} \Delta_4(\beta) K_2(\beta a e^\gamma) \right| d\beta
 \end{aligned}$$

Здесь искомая функция $F_1(\gamma)$ и свободный член $\varphi_1(\xi)$ связаны с функциями $F(x)$ и $\varphi(t)$ соотношениями

$$F_1(\gamma) = e^\gamma F(ae^\gamma), \quad \varphi_1(\xi) = e^\xi \varphi(ae^\xi) \quad (31)$$

Для решения уравнения (28) сперва покажем, что

$$\int_0^{\xi} |K_1(\gamma, \xi)| d\xi < 1$$

Действительно, используя первое соотношение из (30), будем иметь

$$\int_0^{\eta} |K_1(\gamma, \xi)| d\xi \leq \int_0^{\eta} I_1'(\gamma, \xi) d\xi + \int_0^{\eta} I_2'(\gamma, \xi) d\xi \quad (32)$$

Пользуясь значениями следующих интегралов:

$$\int_{-\infty}^{\infty} \frac{x dx}{\operatorname{sh} x} = \frac{\pi^2}{2}, \quad \int_{-\infty}^{\infty} \frac{\operatorname{sh} x - x e^{-x}}{\operatorname{sh}^2 x} dx = \frac{\pi^2}{2}$$

$$\int_{-\infty}^{\infty} \frac{\operatorname{sh} 2x - 2x}{\operatorname{sh}^3 x} dx = \frac{\pi^2}{2}$$

можно оценить первый интеграл в правой части выражения (32)

$$\begin{aligned} \int_0^{\infty} I_1(\gamma, \xi) d\xi &= \frac{8}{\pi^2} \left| -\frac{\Delta_2(\infty)}{E_1} \int_0^{\infty} \frac{(\xi - \gamma) e^{(\xi - \gamma)}}{1 - e^{2(\xi - \gamma)}} d\xi + \left| \frac{\Delta_1(\infty)}{2} + \frac{\nu_1 + 1}{2E_1} \Delta_2(\infty) + \right. \right. \\ &\quad \left. \left. + \Delta_3(\infty) + \frac{\nu_2 \Delta_4(\infty)}{E_1} \right| \int_0^{\infty} e^{(\xi - \gamma)} \frac{1 - e^{2(\xi - \gamma)} - 2(\xi - \gamma) e^{2(\xi - \gamma)}}{(1 - e^{2(\xi - \gamma)})^2} d\xi - \right. \\ &\quad \left. - \left| \Delta_3(\infty) + \frac{(\nu_1 + 1) \Delta_4(\infty)}{E_1} \right| \int_0^{\infty} e^{(\xi - \gamma)} \frac{1 - e^{2(\xi - \gamma)} - 4e^{2(\xi - \gamma)} (\xi - \gamma)}{(1 - e^{2(\xi - \gamma)})^2} d\xi - \right. \\ &= \frac{4}{\pi^2} \left\{ -\frac{\Delta_2(\infty)}{E_1} \int_{-\infty}^{\infty} \frac{z dz}{\operatorname{sh} z} + \left| \frac{\Delta_1(\infty)}{2} + \frac{\nu_1 + 1}{2E_1} \Delta_2(\infty) + \Delta_3(\infty) + \right. \right. \\ &\quad \left. \left. + \frac{\nu_2 \Delta_4(\infty)}{E_1} \right| \int_{-\infty}^{\infty} \frac{\operatorname{sh} z - ze^{-z}}{\operatorname{sh}^2 z} dz - \left| \Delta_3(\infty) + \right. \right. \\ &\quad \left. \left. - \frac{(\nu_1 + 1) \Delta_4(\infty)}{E_1} \right| \frac{1}{2} \int_{-\infty}^{\infty} \frac{\operatorname{sh} 2z - 2z}{\operatorname{sh}^3 z} dz \right\} < \frac{4}{\pi^2} \left\{ -\frac{\Delta_2(\infty)}{E_1} \int_{-\infty}^{\infty} \frac{z dz}{\operatorname{sh} z} + \right. \\ &\quad \left. + \left| \frac{\Delta_1(\infty)}{2} + \frac{\nu_1 + 1}{2E_1} \Delta_2(\infty) + \Delta_3(\infty) + \frac{\nu_2 \Delta_4(\infty)}{E_1} \right| \int_{-\infty}^{\infty} \frac{\operatorname{sh} z - ze^{-z}}{\operatorname{sh}^2 z} dz - \right. \\ &\quad \left. - \left| \Delta_3(\infty) + \frac{(\nu_1 + 1) \Delta_4(\infty)}{E_1} \right| \frac{1}{2} \int_{-\infty}^{\infty} \frac{\operatorname{sh} 2z - 2z}{\operatorname{sh}^3 z} dz \right\} = -\frac{2\Delta_2(\infty)}{E_1} + \Delta_1(\infty) + \\ &\quad + \frac{\nu_1 + 1}{E_1} \Delta_3(\infty) - 2\Delta_3(\infty) + \frac{2\nu_2 \Delta_4(\infty)}{E_1} - \Delta_3(\infty) - \frac{(\nu_1 + 1) \Delta_4(\infty)}{E_1} = \\ &= \Delta_1(\infty) - \frac{1 - \nu_1}{E_1} \Delta_2(\infty) + \Delta_3(\infty) - \frac{1 - \nu_1}{E_1} \Delta_4(\infty) = \frac{1}{2} \end{aligned}$$

Таким образом,

$$\int_0^{\infty} I_1(\gamma, \xi) d\xi < \frac{1}{2} \quad (33)$$

Остается оценить второй интеграл в выражении (32).

Из (24) и (28) видно, что соответственные члены $I_1^*(\gamma, \xi)$ и $I_2^*(\gamma, \xi)$ отличаются друг от друга коэффициентами $\Delta_i(\infty)$ и $\Delta_i(\xi) - \Delta_i(\infty)$ ($i = 1, 2, 3, 4$). Первый коэффициент зависит только от упругих постоянных, а второй представляет собой произведение двух множителей, один из которых зависит только от упругих постоянных и меньше $\Delta_2(\infty)$, а другой зависит от ξ , стремится к нулю по экспоненциальному закону и меньше единицы.

Следовательно, каждый член $I_2^*(\gamma, \xi)$ меньше каждого соответственного члена $I_1^*(\gamma, \xi)$, откуда следует, что

$$\int_0^{\infty} I_2^*(\gamma, \xi) d\xi < \int_0^{\infty} I_1^*(\gamma, \xi) d\xi < \frac{1}{2} \quad (34)$$

Таким образом, из (32), (33) и (34) следует, что

$$\int_0^{\infty} |K_1(\gamma, \xi)| d\xi < 1 \quad (35)$$

а функция $\Omega_1(\gamma)$ ограничена.

Решая интегральное уравнение (29) методом последовательных приближений, получаем выражение функции $F_1(t)$. Далее по формулам (31), (18), (17), (14) и (13) последовательно можно определить все искомые функции интегрирования. Напряжения и перемещения по известным формулам будут определены в любой точке составной полуплоскости. Отметим, что при помощи оценки (35) для ядра (30) легко доказать сходимость интегралов, входящих в выражения (17) и (18).

В частном случае, если положить $a = 0$ (штамп находится только на полуполосе), то все выражения и уравнения остаются неизменными, кроме $A_1(x)$ и $\Omega_1(\gamma)$.

$A_1(x)$ и $\Omega_1(\gamma)$ определяются соответственно из формул (17) и (30) без первых членов.

Если положим $b = 0$, $E_1 = E_2 = E$, $\nu_1 = \nu_2 = \nu$, то получим решение задачи о вдавливании жесткого штампа симметричного очертания на упругую однородную полуплоскость.

В этом случае имеем

$$\begin{aligned} A_2(x) &= C_1(x), & B_2(x) &= C_2(x) = 0, & D_2(x) &= -D_1(x) \\ G_k &= F_k = 0, & C_1(\xi) &= \frac{1-\nu}{2} M(\xi) + \frac{E}{2} N(\xi) \end{aligned} \quad (36)$$

$$D_1(\xi) = -\frac{1+\nu}{2} M(\xi) + \frac{E}{2} N(\xi), \quad M(\xi) = \frac{4}{\pi^2} \int_0^{\infty} \frac{x^4 A_1(x)}{(x^2 + \xi^2)^2} dx$$

$$N(\beta) = -\frac{4}{\pi\beta E} \int_0^{\infty} \frac{x^2(\beta^2 - x^2) A_1(x)}{(x^2 + \beta^2)^2} dx, \quad K(\beta) = \frac{2}{E} \quad (36)$$

$$\Delta_1(\beta) = \frac{3 + \nu}{2}, \quad -\Delta_2(\beta) = \Delta_4(\beta) = \frac{E}{2}, \quad \Delta_3(\beta) = -\frac{1 + \nu}{2}$$

и интегральное уравнение (29) сводится к интегральному уравнению типа Винера-Хопфа

$$F_1(\tau) = \Omega_1(\tau) + \int_0^{\infty} F_1(\xi) K_1(\tau - \xi) d\xi \quad (37)$$

где

$$K_1(z) = \frac{e}{\pi^2} \frac{z}{\operatorname{sh} z} \quad (38)$$

$$\Omega_1(\tau) = \frac{1}{a} \int_{-\infty}^0 \varphi_1(\xi) K_1(\tau - \xi) d\xi$$

Такие интегральные уравнения рассматривались в работах И. М. Рапопорта [9] и М. Г. Крейна [10].

И. М. Рапопорт [9] связал задачу решения уравнений (37) с неоднородной граничной задачей Гильберта и дал точное решение этого интегрального уравнения в квадратурах.

Используя результаты И. М. Рапопорта, получаем

$$F_1(\tau) = \frac{1}{\sqrt{2\pi}} \int_{-\infty}^{\infty} \Phi_-(t + i0) e^{-i\tau t} dt \quad (39)$$

где

$$\Phi_-(x + i0) = \frac{1}{2} \operatorname{cth}^2 \frac{\pi x}{2} \left\{ G(x) + H(x) \right\} \left\{ \frac{1}{\pi i} \int_{-\infty}^{\infty} \frac{G(t) dt}{(t-x)H(t)} \right\}$$

$$H(x) = \operatorname{th} \frac{\pi x}{2} \exp \left[-\frac{1}{2\pi i} \int_{-\infty}^{\infty} \frac{\ln \operatorname{th} \frac{\pi t}{2}}{t-x} dt \right]$$

Через $G(x)$ обозначено преобразование Фурье функции $\Omega_1(\tau)$

$$G(x) = \frac{1}{\sqrt{2\pi}} \int_{-\infty}^{\infty} \Omega_1(\tau) e^{i\tau x} d\tau$$

В этом частном случае решение выражается только через функцию $\Phi_1(x, y)$, так как на линии $y = 0$ $\Phi_2(x, 0) = \Phi_1(x, 0)$.

В заключение считаю своим приятным долгом выразить глубокую признательность Н. Х. Арутюняну за постановку задачи.

Институт математики и механики
АН Армянской ССР

Поступила 25 IX 1967

Վ. Ս. ՏՈՆՈՅԱՆ

ՆԵՐԿԻՐՎԱԾՔՈՎ ԿԻՍԱՀԱՐՔՈՒԹՅԱՆ ՍԻՄՄԵՏՐԻԿ ԿՈՆՏԱԿՏԱՅԻՆ ԽՆԴՐԻ ԼՈՒՐՈՒՄԸ ԿՐԱՍԻՆ

Ա մ փ ո փ ո մ

Աշխատանքում դիտարկվում է կամայական տեսքի հիմք ունեցող կոշտ դրոշմի ճնշման խնդիրը՝ կիրառված բազադրչալ կիսահարթության հորիզոնական եզրի մի մասի վրա: Կիսահարթությունը կալված է երեք համասեռ և իդոարոպ մասերից, երկու բառորդ հարթություններից և նրանց միջև գտնվող կիսաշերտից, ընդ որում բառորդ հարթությունները պատրաստված են մի նյութից, իսկ կիսաշերտը՝ ուրիշ նյութից: Քառորդ հարթությունները և կիսաշերտը իրար միացված են այնպես, որ կաղմում են մի կիսահարթություն: Կիսահարթության հորիզոնական եզրի վրա կիրառված է ողորկ հիմքով կոշտ դրոշմ այնպես, որ դրոշմը գտնվում է բոլոր նյութերի վրա միաժամանակ և դասավորված է սիմետրիկ:

Խնդիրը լուծված է ֆուրյեյի մեթոդով: Ինտեգրման գործակիցների որոշումը բերվել է «զույգ» ինտեգրալ հավասարման լուծմանը, ընդ որում «զույգ» ինտեգրալ հավասարման լուծումը բերվել է ֆրեդհոլմի երկրորդ սեռի ինտեգրալ հավասարման լուծմանը:

Սանձավոր դեպքում առաջված է համասեռ կիսահարթության եզրի վրա կոշտ դրոշմի ճնշման խնդիրը: Այդ դեպքում ֆրեդհոլմի ինտեգրալ հավասարումը լուծվում է ձիշտ, քառակուսացման միջոցով:

V. S. TONOYAN

ON THE SOLUTION OF SYMMETRICAL CONTACT PROBLEMS FOR A SEMI-PLANE WITH AN INCLUSION

S u m m a r y

The present paper considers the problem of pressing of a rigid punch on the part of the boundary of a compound semi-plane.

The semi-plane consists of three isotropic parts: two quadrants and a semi-strip between them.

The quadrants are prepared from one material, but the semi-strip from another. On the horizontal edge of the semi-plane the rigid punch with a smooth base is pressed, the punch is found on all the materials at the same time.

The problem is solved by the method of Fourier.

The determination of the coefficients of integration is reduced to solve the dual integral equations.

The solution of the dual integral equations is reduced to the solution of Fredholm's integral equation of the second kind.

Л И Т Е Р А Т У Р А

1. *Мухелишвили Н. И.* Некоторые основные задачи математической теории упругости. Изд. «Наука» ф.м. М., 1966.
2. *Штаерман И. Я.* Контактная задача теории упругости. Гостехиздат, М.-Л., 1949.
3. *Галин Л. А.* Контактные задачи теории упругости. ГИТТЛ, М., 1953.
4. *Шерман Д. И.* Плоская задача теории упругости со смешанными условиями. Труды сейсмологического ин-та АН СССР. № 88, 1938.
5. *Попов Г. Я.* Об одном приближенном способе решения некоторых плоских контактных задач теории упругости. Известия АН АрмССР, сер. физ.-мат. наук, т. 14, № 3, 1961.
6. *Тонян В. С.* Об одной плоской контактной задаче для упругой четверть-плоскости. Докл. АН АрмССР, т. 37, № 3, 1963.
7. *Тонян В. С.* Плоская контактная задача для упругой четверть-плоскости с неподвижной вертикальной кромкой. Докл. АН АрмССР, т. 37, № 5, 1963.
8. *Арутюнян Н. Х., Баблоян А. А.* Контактные задачи для составной полуплоскости. Тезисы докладов IV Всесоюз. конференции по прочности и пластичности. Изд-во «Наука», М., 1967, стр. 13.
9. *Рапопорт И. М.* Об одном классе сингулярных интегральных уравнений. Докл. АН СССР, т. 59, № 8, 1948, 1403—1406.
10. *Крейн М. Г.* Интегральные уравнения на полупрямой с ядром, зависящим от разности аргументов. Успехи матем. наук, т. 13, вып. 5 (83), 1958, 3—118.
11. *Гриджин И. С. и Рыжик И. М.* Таблицы интегралов, сумм, рядов и произведений. Физматгиз, М., 1962.

А. Г. БАГДОЕВ, А. А. МОВСИСЯН

К ВОПРОСУ ОПРЕДЕЛЕНИЯ УДАРНОЙ ВОЛНЫ В НЕЛИНЕЙНЫХ ЗАДАЧАХ ТЕОРИИ УПРУГОСТИ

Рассматриваются некоторые одномерные и квази-одномерные задачи нелинейно-упругих и нелинейно-геометрических тел.

Определяются ударная волна и решение в ее окрестности.

1. Уравнение одномерного неустойчившегося движения для физически и геометрически нелинейного стержня-полоски имеет вид [1, 2]

$$a^2 \frac{\partial^2 u}{\partial x^2} + \left(a^2 + \frac{2K\lambda_1}{3\sigma} \right) \frac{\partial u}{\partial x} \frac{\partial^2 u}{\partial x^2} = \frac{\partial^2 u}{\partial t^2} \quad (1.1)$$

Здесь $u(x, t)$ — продольное смещение, $a = \sqrt{(3K + 4G) / 3\rho}$ — скорость распространения упругой волны, λ_1 — коэффициент, характеризующий физическую нелинейность в зависимости $\sigma_x - \varepsilon_x$ [1]

$$\sigma_x = 3K(1 + \lambda_1 \varepsilon_0) \varepsilon_0 + 2G(\varepsilon_x - \varepsilon_0) \quad (1.2)$$

Для уравнения (1.1) берем следующие начальные

$$u = \frac{\partial u}{\partial t} = 0 \quad \text{при } t = 0 \quad (1.3)$$

и граничные

$$\frac{\partial u}{\partial t} = \varepsilon v(t) \quad \text{при } x = 0 \quad (1.4)$$

условия, что соответствует удару по полубесконечному стержню. В (1.4) ε — малая величина.

В линейной задаче вторым слагаемым в левой части (1.1) можно пренебречь, и решение примет вид

$$u = f(x - at) \quad (1.5)$$

а из условия (1.4)

$$f(x - at) = - \frac{\varepsilon}{a} \int_0^{t - \frac{x}{a}} v(\xi) d\xi \quad (1.6)$$

Полученное решение (1.6) показывает, что $u(\tau)$, $\tau = t - \frac{x}{a}$. Поэтому, естественно, решение нелинейного уравнения (1.1), где нелинейность существенна только для окрестности фронта волны $\tau \sim 0$, для больших моментов времени (см. ниже) искать в виде [3]

$$u = \varepsilon w(\tau, z), \quad z = \varepsilon x \quad (1.7)$$

Подставляя (1.7) в (1.1), можно получить

$$\frac{\partial F}{\partial z} + kF \frac{\partial F}{\partial \tau} = 0 \quad (1.8)$$

где

$$k = \frac{1}{2a^2} \left(a^2 + \frac{2Kx_0}{3\rho} \right), \quad F = \frac{\partial w}{\partial \tau} \quad (1.9)$$

Решение (1.8) имеет вид

$$k\varepsilon x F = \tau + \psi(F) \quad (1.10)$$

Функция $\psi(F)$ определяется из условия (1.4) и имеет вид

$$\psi^{-1}(-\tau) = v(\tau)$$

Тогда (1.10) запишется в виде

$$F = v(\tau - k\varepsilon x F) \quad (1.11)$$

Полученное решение имеет место для больших t и x в окрестности фронта волны.

Условие на ударной волне получается из (1.1), если искать стационарное решение (1.1) в виде $u = u(\xi)$, $\xi = x - Vt$, и имеет вид

$$V = a - \frac{k a^2 \varepsilon}{2} F \quad (1.12)$$

Здесь $V = \frac{dx}{dt}$ — скорость ударной волны.

Подставляя (1.11), записанное в виде

$$t - \frac{x}{a} - k\varepsilon x F(Y_1) = Y_1, \quad Y_1 = \psi(F) \quad (1.13)$$

в (1.12), можно получить дифференциальное уравнение вдоль ударной волны $x = x(t)$

$$1 - \frac{V}{a} - k\varepsilon \left(F \frac{dx}{dt} + x \frac{dF}{dt} \right) = \frac{dY_1}{dt}$$

Подставляя сюда (1.12) и умножая на F , с учетом $\frac{dx}{dt} = V$, можно получить

$$-\frac{k\varepsilon}{2} d(xF^2) - F dY_1 \quad (1.14)$$

откуда

$$F^2 = -\frac{2}{k\varepsilon x_0} \int_{Y_0}^{Y_1} F(Y_1) dY_1 \quad (1.15)$$

при $x \rightarrow \infty$, $F \rightarrow 0$. Поэтому в верхнем пределе в (1.15) можно полагать $Y_1 = Y_0$, где $F(Y_0) = 0$. В случае $k < 0$ должно быть $F > 0$, т. е.

$$F = \sqrt{-\frac{2}{kax} \int_0^{Y_0} F(Y_1) dY_1} \quad (1.16)$$

По (1.11) $F(Y_1) = v(Y_1)$, т. е. ударная волна образуется при $v(Y_1) > 0$, соответствующему нагружению стержня, причем в некоторый момент $Y_1 = Y_0$, $v(Y_0) = 0$.

Если же $v(Y_1) \leq 0$, что соответствует разгрузке, то $F(Y_1) \leq 0$. Тогда согласно (1.16) должно быть $F = 0$, т. е. ударная волна отсутствует и имеется непрерывный переход через волну $x = at$ к невозмущенной среде.

Таким образом, $k < 0$ соответствует ударным полнам газовой динамики. Если $k > 0$, то будет ударная волна разгрузки, поскольку в силу (1.16) должно быть $v \leq 0$. В этом случае можно рассмотреть и задачу о нагружении с убывающей скоростью $v(t)$. Тогда по первоначальной непрерывной волне нагрузки будет идти ударная волна разгрузки, в которой скачок скорости дается снова (1.16) (см., например, формулу для давления работы [4], выведенную для случая уравнения газовой динамики, которая несомненно будет верна и для уравнений теории упругости, если показатель адиабаты γ заменить соответствующим коэффициентом).

2. Если материал стержня нелинейно вязко-упругий, то вместо (1.2) нужно брать

$$\varepsilon_x = \left(K + \frac{4}{3} G \right) \left(\varepsilon_x + \alpha \frac{\partial \varepsilon_x}{\partial t} \right) + \frac{K\alpha_1}{3} \varepsilon_x^2 \quad (2.1)$$

где α мало, и уравнение движения имеет вид

$$a^2 \left(1 + \alpha \frac{\partial}{\partial t} \right) \frac{\partial^2 u}{\partial x^2} - \left(a^2 + \frac{2K\alpha_1}{3} \right) \frac{\partial u}{\partial x} \frac{\partial^2 u}{\partial x^2} = \frac{\partial^2 u}{\partial t^2} \quad (2.2)$$

Вместо (1.8) получится

$$\frac{\partial F}{\partial z} + kF \frac{\partial F}{\partial z} = \frac{2}{2\alpha a} \frac{\partial^2 F}{\partial z^2} \quad (2.3)$$

Подстановкой [3]

$$F = -\frac{z}{\varepsilon uk} \frac{\partial U}{\partial z} \quad (2.4)$$

уравнение (2.3) приводится к виду

$$\frac{\partial U}{\partial z} = \frac{2}{2\alpha a} \frac{\partial^2 U}{\partial z^2} \quad (2.5)$$

решение которого по условиям (1.3) и (1.4) находится в виде квадратуры.

3. Приведенный в п. 1 метод применим для задач о взрыве с цилиндрической и сферической симметрией.

Зависимость напряжения от деформации берем в виде [1]

$$\begin{aligned}\sigma_r &= 3K(1 + \nu_1 \varepsilon_0) \varepsilon_r + 2G(\varepsilon_r - \varepsilon_\theta) \\ \sigma_\theta &= 3K(1 + \nu_1 \varepsilon_0) \varepsilon_\theta + 2G(\varepsilon_\theta - \varepsilon_r)\end{aligned}\quad (3.1)$$

где компоненты деформаций определяются формулами [2]

$$\varepsilon_r = \frac{\partial u}{\partial r} + \frac{1}{2} \left(\frac{\partial u}{\partial r} \right)^2, \quad \varepsilon_\theta = \frac{u}{r} + \frac{1}{2} \left(\frac{u}{r} \right)^2, \quad \varepsilon_0 = \frac{1}{3} (\varepsilon_r + \varepsilon_\theta) \quad (3.2)$$

а u — радиальное перемещение.

Подставляя эти выражения в уравнение движения, введя вблизи фронта волны аналогичные (1.7) переменные

$$u = \varepsilon w(\tau, z), \quad z = \varepsilon r, \quad \tau = t - \frac{r}{a} \quad (3.3)$$

и оставляя малые порядка ε^2 , можно найти

$$\frac{\partial F}{\partial z} + \frac{F}{2z} + kF \frac{\partial F}{\partial \tau} = 0, \quad F = \frac{\partial w}{\partial \tau} \quad (3.4)$$

Решение этого уравнения запишется в виде

$$\tau = 2kzF + f(F\sqrt{z})$$

или

$$F = \frac{1}{\sqrt{z}} \psi(Y_1), \quad Y_1 = \tau - 2kzF \quad (3.5)$$

где функции f или ψ находятся из граничных условий или из условий перехода (3.5) для конечных τ в линейное решение, соответствующее в (3.5) $k=0$

Автомодельное решение по (3.5) запишется

$$\tau = 2kzF + czF^2 \quad (3.6)$$

Полученные формулы можно применить к определению окрестности ударной волны в полуплоскости, когда по границе ее движется переменное давление [5]. Вблизи участка BC ударной волны (фиг. 1) для больших моментов времени можно по линейной теории найти напряжения или деформации, причем, например, для w имеем [5] (в полярных координатах r, θ $x = r \cos \theta, y = r \sin \theta$)

$$w = \frac{1}{\sqrt{z}} \varphi(\tau, \theta) \quad (3.7)$$

где, как можно показать, производные по θ в уравнениях движения могут быть отброшены (условие квази-одномерности), и решение вблизи фронта BC дается (3.5). Функция $\psi(\tau)$ определится на выходе к решению (3.7), причем $\psi(\tau) = \varphi(\tau, \theta)$, где θ играет роль параметра.

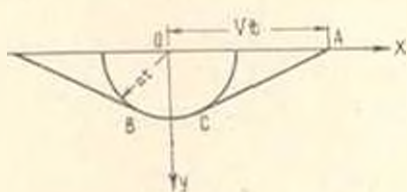
Для определения решения на самой ударной волне воспользуемся формулой для скорости ударной волны, имеющей вид (1.12). Тогда, подобно (1.16), можно написать

$$\psi = - \sqrt{-\frac{2}{k_1} \int_0^{\psi_0} \psi(\psi_1) d\psi_1} \quad (3.8)$$

Подставляя (3.8) в (3.5), можно найти для F порядок затухания

$$F \sim \frac{1}{t^2} \quad (3.9)$$

Если скорости точки A по поверхности постоянна, то задача автомодельна, и линейное решение вблизи BC имеет вид [5]



Фиг. 1.

$$w = f(\theta) \sqrt{\frac{z}{r}} \quad (3.10)$$

Тогда решение нелинейной задачи дается (3.6), где

$$c = f^{-2}(\theta) \quad (3.11)$$

Решение на ударной волне BC по (1.12) и (3.6), если положить $V = \frac{r}{t}$ или $a = \frac{ka^2}{2} F = \frac{a(t-z)}{t}$, имеет вид

$$\frac{z}{t} = \frac{ka^2}{2} F \quad (3.12)$$

или поскольку вблизи BC $t - \frac{r}{a} = 0$

$$\frac{z}{z} = \frac{k}{2} F \quad (3.13)$$

Отсюда и из (3.6) можно найти

$$F = -\frac{3k}{2c}, \quad F = -\frac{3}{2} kf^2(\theta) \quad (3.14)$$

где $f(\theta)$ дается из решения линейной задачи [5].

Отметим, что вблизи точки B соединения плоской ударной волны, где решение постоянно, и волны BC функция $f(\theta)$ имеет особенность. Это приведет к тому, что решение будет зависеть от r и θ и потребуется получить упрощенные двумерные уравнения.

Не прилеждая выкладки, укажем лишь, что для случая сферической симметрии закон затухания ударной волны имеет порядок $1/R \ln R$.

ԱՌՈՋՎԵԿԻԱՆՈՒԹՅԱՆ ՏՆՈՒԹՅԱՆ ՈՂ-ԳԾԱՅԻՆ ԽՆԳԻՐՆԵՐՈՒՄ
ՀԱՐՎԱԾԱՅԻՆ ԱԼԻԲԻ ՈՐՈՇՈՐԱՆ ՄԱՍԻՆ

Ա մ փ ն փ ո ս ւ մ

Գիտարկված են ուղ-գծային առաձգական և ուղ-գծային երկրաչափական մի րանի միաչափ և բլադի-միաչափ խնդիրները լուծումն՝ ալիքի ճակատի մոտա-կաշրում. արվում է գծային լուծումներում խարակտերիստիկները ուղ-գծային խարակտերիստիկներով փոխարինելով:

Որոշված է հարվածային ալիքի արագությունը և նրա մարման օրենքը:

A. G. BAGDOEV, L. A. MOVSISIAN

ON THE PROBLEM OF DETERMINATION OF SHOCK WAVES
IN NON-LINEAR PROBLEMS OF ELASTICITY

S u m m a r y

Some one dimensional non-linear elastic problems are considered. The solution is obtained by changing the linear characteristics by a non-linear ones.

The velocity and decay of shock waves are found to be depended on the properties of the medium.

Л И Т Е Р А Т У Р А

1. *Кудерер Г.* Нелинейная механика, М., 1961.
2. *Новожилов В. В.* Основы нелинейной упругости. ОГИЗ. М.-Л., 1948.
3. *Солуян С. И., Хохлов Р. В.* Распространение акустических волн Вестник МГУ (серия физическая), № 3, 1961.
4. *Губкин К. Е.* Распространение разрыва и звуковых волнах. ПММ, т. 22, вып. 4. 1958.
5. *Багдоев А. Г.* Пространственные нестационарные движения сплошной среды. Изд-во АН АрмССР, Ереван, 1961.

Р. Е. МКРТЧЯН

БОЛЬШИЕ УПРУГИЕ ДЕФОРМАЦИИ РАСТЯЖЕНИЯ, РАЗДУВАНИЯ И КРУЧЕНИЯ СОСТАВНОЙ ТРУБЫ ИЗ СЖИМАЕМЫХ МАТЕРИАЛОВ

В работе рассматриваются задачи больших упругих деформаций для трубы, составленной из нескольких надетых друг на друга и спаянных по боковым поверхностям однородных, изотропных круглых труб из различных сжимаемых материалов.

Решение задачи больших упругих деформаций для однородной трубы дано в [1, 2].

Эти задачи для составной трубы из несжимаемого материала рассмотрены в работе [6].

1. Пусть круглая цилиндрическая труба, состоящая из $(n - 1)$ однородных, изотропных и сжимаемых слоев в недеформированном состоянии, имеет радиусы $r_1 > r_2 > \dots > r_n$.

Материалы слоев имеют различные функции энергии деформации $W_{(k)}$ ($k = 1, 2, \dots, n - 1$). Между слоями существует полное сцепление.

Рассмотрим случай, когда труба испытывает одновременно следующие деформации:

а) простое растяжение в направлении оси трубы с коэффициентом растяжения λ ,

б) кручение с углом закручивания ϑ на единицу длины растянутой трубы.

в) раздувание, при котором радиусы $r_1 > r_2 > \dots > r_n$ переходят в $r_1 > r_2 > \dots > r_n$. Если рассматривается задача выворачивания трубы, то $r_1 < r_2 < \dots < r_n$.

Рассматриваемая деформация трубы

$$r_{(k)} = r_{(k)}(r), \quad \vartheta = \vartheta + \lambda^2 x_3, \quad y_3 = \lambda x_3 \quad (1.1)$$

$$r_{(k)} = r_{(k)}(r), \quad \vartheta = \vartheta - \vartheta y_3, \quad x_3 = \frac{y_3}{\lambda} \quad (1.2)$$

где r, ϑ, x_3 и r, ϑ, y_3 — цилиндрические полярные координаты точки трубы в недеформированном и деформированном состояниях соответственно.

Индекс ($k = 1, 2, \dots, n - 1$) показывает номер слоя трубы.

Компоненты контрвариантного тензора напряжений определяются соотношениями [1]:

$$\tau^{ij} = \Phi g^{ij} + \Psi B^{ij} + p G^{ij} \quad (1.3)$$

где Φ , Ψ и p определяются выражениями

$$\Phi = \frac{2}{\sqrt{I_3}} \frac{\partial W}{\partial I_1}, \quad \Psi = \frac{2}{\sqrt{I_3}} \frac{\partial W}{\partial I_2}, \quad p = 2\sqrt{I_3} \frac{\partial W}{\partial I_3} \quad (1.4)$$

Здесь I_1, I_2, I_3 — инварианты деформации.

Метрические тензоры недеформированного и деформированного состояний тела будут [1]

$$G_{ij} = \begin{bmatrix} 1 & 0 & 0 \\ 0 & r^2 & 0 \\ 0 & 0 & 1 \end{bmatrix}, \quad G^{ij} = \begin{bmatrix} 1 & 0 & 0 \\ 0 & \frac{1}{r^2} & 0 \\ 0 & 0 & 1 \end{bmatrix}, \quad G = r^2 \quad (1.5)$$

$$g_{ij} = \begin{bmatrix} \frac{1}{r_\rho^2} & 0 & 0 \\ 0 & \rho^2 & -\psi \rho^2 \\ 0 & -\psi \rho^2 & \psi^2 \rho^2 + \frac{1}{k^2} \end{bmatrix}, \quad g^{ij} = \begin{bmatrix} r_\rho^2 & 0 & 0 \\ 0 & \frac{1}{\rho^2} + \lambda^2 \psi^2 & \lambda^2 \psi \\ 0 & \lambda^2 \psi & \lambda^2 \end{bmatrix} \quad (1.6)$$

$$g = \frac{\rho^2}{r_\rho^2 \lambda^2}$$

Компоненты тензора B^{ij} выражаются в виде

$$B^{11} = r_\rho^2 \left(\frac{r^2}{\rho^2} + \lambda^2 \psi^2 r^2 + \lambda^2 \right)$$

$$B^{22} = \frac{r_\rho^2}{\rho^2} (1 + \lambda^2 \psi^2 \rho^2) + \frac{\lambda^2}{\rho^2}$$

$$B^{33} = \lambda^2 r_\rho^2 + \frac{\lambda^2 r^2}{\rho^2} \quad (1.7)$$

$$B^{23} = \lambda^2 \psi^2 r_\rho^2, \quad B^{12} = B^{31} = 0$$

Для компонентов контрвариантного тензора напряжения (1.3) из (1.5), (1.6) и (1.7) получаются выражения

$$\tau^{11} = r_\rho^2 \left[\Phi + \left(\frac{r^2}{\rho^2} + \lambda^2 \psi^2 r^2 + \lambda^2 \right) \Psi \right] + p$$

$$\tau^{22} = \tau^{11} + \left[\frac{r_\rho^2}{\rho^2} (1 + \lambda^2 \psi^2 \rho^2) - r_\rho^2 \right] \Phi + \left(\frac{\lambda^2 r_\rho^2}{\rho^2} - \lambda^2 r_\rho^2 \right) \Psi$$

$$\tau^{33} = \tau^{11} + (r^2 - r_\rho^2) \Phi + \frac{r_\rho^2}{\rho^2} [\lambda^2 - r_\rho^2 (1 + \lambda^2 \psi^2 \rho^2)] \Psi \quad (1.8)$$

$$\tau^{23} = \lambda^2 \psi (\Phi + r_\rho^2 \Psi), \quad \tau^{12} = \tau^{31} = 0$$

При отсутствии объемных сил напряженное состояние удовлетворяет уравнениям равновесия

$$r_{(k)}^{-22} = \frac{d}{dr_{(k)}} (r_{(k)}^{-11}), \quad (k = 1, 2, \dots, n-1) \quad (1.9)$$

условиям сцепления

$$\begin{aligned} r_{(k)} &= r_{(k+1)} = r_{k-1} \quad \text{при} \quad \varrho = \varrho_{k+1} \\ r_{(k)}^{-11} &= r_{(k+1)}^{-11} \end{aligned} \quad (1.10)$$

и условиям на внешней и внутренней цилиндрических поверхностях составной трубы.

Результирующим моментом и результирующей силой системы сил, действующих на плоском торце составной трубы, будут

$$M = 2\pi \sum_{k=1}^{n-1} \int_{r_{k+1}}^{r_k} r_{(k)}^{-22} dr_{(k)} = 2\pi l^2 \varrho \sum_{k=1}^{n-1} \int_{r_{k+1}}^{r_k} r_{(k)}^2 (\Phi_{(k)} + r_{(k)}^{-11} \Psi_{(k)}) dr_{(k)} \quad (1.11)$$

$$\begin{aligned} N = 2\pi \sum_{k=1}^{n-1} \int_{r_{k+1}}^{r_k} r_{(k)}^{-33} dr_{(k)} &= 2\pi \sum_{k=1}^{n-1} \int_{r_{k+1}}^{r_k} \left\{ r_{(k)}^{-11} + (\lambda^2 - r_{(k)}^2) \Phi_{(k)} + \right. \\ &\left. + \frac{r_{(k)}^2}{\varrho^2} [\lambda^2 - r_{(k)}^2 (1 + \lambda^2 \varrho^2)] \Psi_{(k)} \right\} r_{(k)} dr_{(k)}. \end{aligned} \quad (1.12)$$

На внешней и внутренней цилиндрических поверхностях составной трубы могут быть заданы два из следующих четырех условий:

$$\begin{aligned} r_{(1)}^{-11} &= P_1, \quad r_{(1)} = r_1 \quad \text{при} \quad \varrho = \varrho_1 \\ r_{(n-1)}^{-11} &= P_2, \quad r_{(n-1)} = r_n \quad \text{при} \quad \varrho = \varrho_2 \end{aligned} \quad (1.13)$$

Условия (1.10) и (1.13) являются краевыми условиями, которым должны удовлетворять решения нелинейных дифференциальных уравнений второго порядка относительно искомым функций $r_{(k)}(\varrho)$ (1.9).

Если из (1.9), (1.10) и (1.13) найдены $r_{(k)}(\varrho)$, то на основании (1.8), (1.11) и (1.12) определяется напряженное состояние.

Если ϱ или λ неизвестны, то для определения их к основным уравнениям (1.9) добавляется (1.11) или (1.12), где M или N заранее известны. Если оба ϱ и λ неизвестны, то к (1.9) добавляются выражения (1.11) и (1.12).

2. При малых, но конечных деформациях функцию энергии деформации можно представить выражением, данным Мурнаганом [3]

$$W = A_2 J_2 + A_2 J_1^2 + A_3 J_1 J_2 + A_1 J_1^3 + A_5 J_3 \quad (2.1)$$

где J_1 , J_2 и J_3 — инварианты деформации, определяемые формулами

$$\begin{aligned} J_1 &= I_1 - 3 \\ J_2 &= I_2 - 2I_1 + 3 \\ J_3 &= I_3 - I_2 + I_1 - 1 \end{aligned} \quad (2.2)$$

$A_1 - A_3$ — постоянные, определяющие упругие свойства материалов.

Подставляя в (1.8) выражения

$$\begin{aligned} \Phi &= \frac{2}{\sqrt{I_3}} (3A_4 I_1^2 + B_1 I_1 + A_3 I_2 + B_2) \\ \Psi &= \frac{2}{\sqrt{I_3}} (A_3 I_1 + B_3) \\ p &= 2\sqrt{I_3} A_5 \end{aligned} \quad (2.3)$$

которые получаются из (1.4), (2.1) и (2.2) после введения новых постоянных

$$\begin{aligned} B_1 &= 2A_2 - 4A_3 - 18A_4 \\ B_2 &= -2A_1 - 6A_2 + 9A_3 + 27A_4 + A_5 \\ B_3 &= A_1 - 3A_2 - A_5 \end{aligned} \quad (2.4)$$

получим

$$\begin{aligned} \sigma^{11} &= \frac{2r_p^2}{\sqrt{I_3}} \left[3A_4 I_1^2 + B_1 I_1 + A_3 I_2 + B_2 + \right. \\ &\quad \left. + \left(\frac{r^2}{\rho^2} + \lambda^2 \rho^2 r^2 + \lambda^2 \right) (A_3 I_1 + B_3) \right] + 2\sqrt{I_3} A_5 \\ \sigma^{22} &= \sigma^{11} + \frac{2}{\sqrt{I_3}} \left[\left(\frac{r^2}{\rho^2} + r^2 \lambda^2 \rho^2 - r_p^2 \right) (3A_4 I_1^2 + B_1 I_1 + A_3 I_2 + B_2) + \right. \\ &\quad \left. + \left(\frac{r^2 \lambda^2}{\rho^2} - \lambda^2 r_p^2 \right) (A_3 I_1 + B_3) \right] \\ \sigma^{33} &= \sigma^{11} + (i^2 - r_p^2) (3A_4 I_1^2 + B_1 I_1 + A_3 I_2 + B_2) \frac{2}{\sqrt{I_3}} + \\ &\quad + \frac{2r^2}{\rho^2 \sqrt{I_3}} [i^2 - r_p^2 (1 + \lambda^2 \rho^2 \rho^2)] (A_3 I_1 + B_3) \\ \sigma^{12} &= \frac{2\lambda^2 \rho^2}{\sqrt{I_3}} [3A_4 I_1^2 + B_1 I_1 + A_3 I_2 + B_2 + r_p^2 (A_3 I_1 + B_3)] \\ \sigma^{13} &= \sigma^{23} = \sigma^{31} = 0 \end{aligned} \quad (2.5)$$

Здесь инварианты I_1, I_2, I_3 определяются выражениями

$$\begin{aligned}
 I_1 &= g^{11} G_{11} = r_1^2 + \frac{r_2^2}{\rho^2} + r_1^2 r_2^2 \rho^2 + \rho^2 \\
 I_2 &= g_{11} G^{11} I_1 = \frac{r_1^2 r_2^2}{\rho^2} + r_1^2 \rho^2 + r_1^2 r_2^2 \rho^2 + \frac{r_2^2 r^2}{\rho^2} \\
 I_3 &= \frac{G}{g} = \frac{r_1^2 r_2^2 \rho^2}{\rho^2}
 \end{aligned} \tag{2.6}$$

На основании (2.5) уравнения равновесия (1.9) приводятся к системе дифференциальных уравнений

$$\begin{aligned}
 &\frac{d}{ds} \left\{ \frac{2r_{(k)}^2 r_{(k)}}{\rho f_s^{(k)}} \left[3A_1^{(k)} f_1^{(k)2} + B_1^{(k)} f_1^{(k)} + A_3^{(k)} f_3^{(k)} + B_2^{(k)} + \right. \right. \\
 &+ \left. \left. \left(\frac{r_{(k)}^2}{\rho^2} + r_{(k)}^2 r_1^2 \rho^2 + \rho^2 \right) (A_3^{(k)} f_1^{(k)} + B_3^{(k)}) \right] + 2A_2^{(k)} \rho^{-1} f_1^{(k)} \right\} = \\
 &= \frac{2r_{(k)}}{\rho f_s^{(k)}} \left\{ \left(\frac{r_{(k)}^2}{\rho^2} + r_{(k)}^2 r_1^2 \rho^2 \right) (3A_1^{(k)} f_1^{(k)2} + B_1^{(k)} f_1^{(k)} + A_3^{(k)} f_3^{(k)} + B_2^{(k)}) + \right. \\
 &+ \left. \left(\frac{r_{(k)}^2 r_{(k)}}{\rho^2} + r_{(k)}^2 r_{(k)}^2 r_1^2 \rho^2 + \frac{r_{(k)}^2 \rho^2}{\rho^2} \right) (A_3^{(k)} f_1^{(k)} + B_3^{(k)}) - A_3^{(k)} f_3^{(k)} \right\} \tag{2.7}
 \end{aligned}$$

3. В качестве конкретной задачи рассмотрим выворачивание ваннаку трубы, состоящей из двух труб. Пусть функции энергии деформации материалов этих труб имеют следующий вид:

$$\begin{aligned}
 W_{(1)} &= -2.46 f_2^{(11)} - 10.9 f_1^{(12)} - 11 f_1^{(11)} f_2^{(11)} - 2.76 f_3^{(11)} \\
 W_{(2)} &= -5 f_2^{(21)} + 22 f_1^{(22)} + 24 f_1^{(21)} f_2^{(21)} - 5.6 f_3^{(21)}
 \end{aligned} \tag{3.1}$$

При подборе постоянных, входящих в $W_{(1)}$, использованы опытные данные Ривлина и Сандерса [4] на простой сдвиг и на простое удлинение. Постоянные, входящие в $W_{(2)}$, выбраны, используя результаты экспериментов Треолара [5].

Слагаемые в выражениях $W_{(1)}$ и $W_{(2)}$, содержащие f_3 , отброшены для упрощения вычислений.

Если в уравнениях (3.1) пренебречь членами более высокого порядка, чем второй (по отношению к главным удлинениям), и инварианты I_1 и I_2 выразить через главные удлинения (см., например, [2])

$$\begin{aligned}
 I_1 &= \lambda_1^2 + \lambda_2^2 + \lambda_3^2 = 2(e_1 + e_2 + e_3) + (e_1^2 + e_2^2 + e_3^2) + 3 \\
 I_2 &= \lambda_1^2 \lambda_2^2 + \lambda_2^2 \lambda_3^2 + \lambda_3^2 \lambda_1^2 = 3 + 4(e_1 + e_2 + e_3) + \\
 &+ 2(e_1^2 + e_2^2 + e_3^2) + 4(e_1 e_2 + e_2 e_3 + e_3 e_1) + O(e^3)
 \end{aligned} \tag{3.2}$$

то после простых преобразований получим выражение W классической теории упругости

$$\begin{aligned} 2W_{(1)} &= 73.36 (e_1^{(1)} + e_2^{(1)} + e_3^{(1)})^2 + 2 \cdot 4.92 (e_1^{(1)2} + e_2^{(1)2} + e_3^{(1)2}) \\ 2W_{(2)} &= 156 (e_1^{(2)} + e_2^{(2)} + e_3^{(2)})^2 + 2 \cdot 10 (e_1^{(2)2} + e_2^{(2)2} + e_3^{(2)2}) \end{aligned} \quad (3.3)$$

Отсюда видно, что выбранным материалам при малых деформациях соответствуют упругие постоянные Ламе $\mu_1 = 4.92$, $\mu_2 = 10$, $\nu_1 = 73.36$, $\nu_2 = 156$, коэффициенты Пуассона $\nu_1 = \nu_2 = 0.47$ и модули Юнга $E_1 = 14.4 \text{ кг/см}^2$, $E_2 = 29.4 \text{ кг/см}^2$.

Для рассматриваемого частного примера из (2.7) получаем

$$\begin{aligned} r_{(1)\rho} &\left(-0.6 r_{(1)\rho}^2 + 66 \frac{r_{(1)\rho}^2 r_{(1)}^2}{\rho} - 24.66 \frac{r_{(1)}^4}{\rho} + 11 \frac{r_{(1)}^4}{\rho^3} - 8.14 \rho \right) - \\ &- 0.2 r_{(1)\rho}^3 + 33 \frac{r_{(1)\rho}^2 r_{(1)}^2}{\rho} - 22 \frac{r_{(1)\rho}^3 r_{(1)}^2}{\rho^2} - 24.66 \frac{r_{(1)\rho}^2 r_{(1)}^2}{\rho} + \\ &+ 24.66 \frac{r_{(1)\rho} r_{(1)}^3}{\rho^2} + 22 \frac{r_{(1)\rho}^2 r_{(1)}^3}{\rho^3} - 33 \frac{r_{(1)\rho} r_{(1)}^4}{\rho^4} - \\ &- 8.14 r_{(1)\rho} + 0.2 \frac{r_{(1)}^3}{\rho^3} + 8.14 \frac{r_{(1)}}{\rho} = 0 \end{aligned} \quad (3.4)$$

$$\begin{aligned} r_{(2)\rho} &\left(-12 r_{(2)\rho}^2 + 144 \frac{r_{(2)\rho}^2 r_{(2)}^2}{\rho} - 57 \frac{r_{(2)}^4}{\rho} + 24 \frac{r_{(2)}^4}{\rho^3} - 11 \rho \right) - \\ &- 4 r_{(2)\rho}^3 + 72 \frac{r_{(2)\rho}^2 r_{(2)}^2}{\rho} - 48 \frac{r_{(2)\rho}^3 r_{(2)}^2}{\rho^2} - 57 \frac{r_{(2)\rho}^2 r_{(2)}^2}{\rho} + 57 \frac{r_{(2)\rho} r_{(2)}^3}{\rho^2} + \\ &+ 48 \frac{r_{(2)\rho}^2 r_{(2)}^2}{\rho^3} - 72 \frac{r_{(2)\rho} r_{(2)}^3}{\rho^4} - 11 r_{(2)\rho} + 4 \frac{r_{(2)}^3}{\rho^3} + 11 \frac{r_{(2)}}{\rho} = 0 \end{aligned} \quad (3.5)$$

На основании (1.10) и (2.5) имеем условия

$$\begin{aligned} r_{(1)} - r_{(2)} &= r_0 \\ r_{(1)\rho}^3 \left(22 \frac{r_{(1)}^2}{\rho^2} - 0.2 \rho_0 \right) + r_{(1)\rho} \left(11 \frac{r_{(1)}^4}{\rho^3} - 24.66 \frac{r_{(1)}^2}{\rho} - 8.14 \rho_0 \right) &= \\ = r_{(2)\rho}^3 \left(48 \frac{r_{(2)}^2}{\rho^2} - 4 \rho_0 \right) + r_{(2)\rho} \left(24 \frac{r_{(2)}^4}{\rho^3} - 57 \frac{r_{(2)}^2}{\rho} - 11 \rho_0 \right) &= \end{aligned} \quad (3.6)$$

при $\rho = \rho_0$.

Варианты постановки рассматриваемой задачи непосредственно связаны с конкретными условиями на внешней и внутренней поверхностях трубы. Два из этих вариантов рассматриваются на следующих численных примерах.

Пусть двухслойная труба из вышеподобранных материалов в недеформированном состоянии имеет радиусы поперечного сечения: $\rho_1 = 20 \text{ см}$, $\rho_2 = 19 \text{ см}$, $\rho_3 = 18 \text{ см}$. Труба выворачивается наизнанку так, что после деформаций внешняя поверхность переходит на свободную от напряжений внутреннюю поверхность ($r_1 = -18 \text{ см}$) при коэффициенте растяжения $\lambda = -1$.

На свободной от напряжений цилиндрической поверхности $r_1 = -18$ см имеем следующие граничные условия:

$$r_{(1)}(20) = r_1 = -18 \text{ см} \tag{3.7}$$

$$r_{(1)}|_{r=0} = \sqrt{\left(24.66 \frac{r_1^2}{R_2} - 11 \frac{r_1^2}{R_1} + 8.14 r_1\right) \left(22 \frac{r_1}{R_1} - 0.2 r_1\right)}$$

Последнее выражение получается из условия $\frac{\partial \sigma_{11}}{\partial r} = 0$, когда $r = r_1 = 20$ см, а знак перед корнем выбран на основании геометрических соображений.

Определяя решение дифференциального уравнения (3.4), удовлетворяющее граничным условиям (3.7), из (3.6) легко найти r_1 и $r_{(1)}|_{r=0}$ т. е. граничные условия, которым должно удовлетворять решение дифференциального уравнения (3.5).

Подставляя полученные значения $r_{(1)}$, $r_{(2)}$, $r_{(3)}$ и $r_{(4)}$ в (2.5), получаем величины компонент контрвариантного тензора напряжений.

Численное решение задачи найдено с помощью вычислительной машины «Наври-1». Результаты с точностью до пропущенных знаков приведены в табл. 1.

Там же, с целью сопоставления, в скобках приводятся результаты соответствующих величин для трубы из несжимаемых материалов, т. е. когда в (3.1) принимается $R_3^{(1)} = R_3^{(2)} = 1$.

Результирующая сила на торцевой плоскости составной трубы получается из (1.12)

$$N = 62.886 \text{ кг}$$

Для указанного несжимаемого материала

$$N = 47.281 \text{ кг}$$

Пусть теперь рассматриваемая двухслойная труба выворачивается наизнанку так, что и внешняя и внутренняя поверхности после деформаций остаются свободными от напряжений при коэффициенте растяжения $\lambda = -1$.

На цилиндрических поверхностях $r_1 = 20$ см и $r_2 = 18$ см после деформации имеем следующие граничные условия:

$$r_{(1)}|_{r=20} = \sqrt{\frac{1.233 r_1 - 0.001375 r_1^2 - 162.8}{1.1 r_1^2 - 4}} \tag{3.8}$$

$$r_{(2)}|_{r=18} = \sqrt{\frac{3.1667 r_1^2 - 0.004115 r_1^3 + 198}{2.6667 r_1 - 72}} \tag{3.9}$$

которые получаются из условий $\frac{\partial \sigma_{11}}{\partial r}|_{r=20} = 0$ и $\frac{\partial \sigma_{11}}{\partial r}|_{r=18} = 0$.

Эти граничные условия вместе с (3.6) достаточны для решения дифференциальных уравнений (3.4) и (3.5). Программа для вычисли-

Таблица 1

ρ в см	F в см	Γ_p	$^{-11}$ в кг/см ²	Γ^{1-22} в кг/см ²	$^{-23}$ в кг/см ²
20.0	-18 (-18)	1.0890	0.0000 (0.0000)	-1.5561 (-2.0813)	-0.7513 (-1.0795)
19.8	-18.2160 (-18.2198)	1.0709	-0.0171 (-0.0226)	-1.3210 (-1.6633)	-0.6440 (-0.8775)
19.6	-18.4283 (-18.4347)	1.0527	-0.0306 (-0.0393)	-1.0438 (-1.2471)	-0.5140 (-0.6661)
19.4	-18.6371 (-18.6451)	1.0344	-0.0402 (-0.0506)	-0.7282 (-0.8321)	-0.3651 (-0.4522)
19.2	-18.8421 (-18.8510)	1.0160	-0.0458 (-0.0569)	-0.3784 (-0.4179)	-0.2002 (-0.2399)
19.0	-19.0434 (-19.0526)	0.9974	-0.0474 (-0.0585)	0.0004 (-0.0142)	-0.0221 (-0.0314)
19.0	-19.0434 (-19.0526)	0.9977	-0.0474 (-0.0585)	0.0442 (0.0520)	-0.0015 (-0.0065)
18.8	-19.2411 (-19.2500)	0.9789	-0.0424 (-0.0527)	0.8596 (0.8920)	0.3821 (0.4114)
18.6	-19.4350 (-19.4432)	0.9600	-0.0292 (-0.0396)	1.7001 (1.7251)	0.7810 (0.8161)
18.4	-19.6251 (-19.6326)	0.9407	-0.0084 (-0.0186)	2.5454 (2.5473)	1.1909 (1.2151)
18.2	-19.8113 (-19.8182)	0.9210	0.0195 (0.0092)	3.3708 (3.3531)	1.6080 (1.6146)
18.0	-19.9935 (-20.0000)	0.9010	0.0536 (0.0432)	4.1476 (4.1375)	2.0287 (2.0242)
Первый слой					
Второй слой					

Таблица 2

ρ в см	Γ в см	Γ_p	ε_{11} в кг/см ²	$\sigma_{\tau 22}$ в кг/см ²	ε_{33} в кг/см ²
20.0	-17.5965 (-17.7123)	1.1074	0.0000 (0.0000)	-1.7648 (-2.4025)	-0.8512 (-1.2335)
19.8	-17.8161 (-17.9356)	1.0890	-0.0206 (-0.0273)	1.5741 (-1.9800)	-0.7706 (-1.0424)
19.6	-18.0321 (-18.1539)	1.0706	-0.0379 (-0.0485)	1.3372 (-1.5538)	-0.6617 (-0.8297)
19.4	-18.2444 (-18.3675)	1.0523	-0.0514 (-0.0634)	1.0574 (-1.1408)	-0.5304 (-0.6212)
19.2	-18.4530 (-18.5765)	1.0338	-0.0610 (-0.0732)	-0.7385 (-0.7231)	-0.3798 (-0.4058)
19.0	-18.6579 (-18.7810)	1.0152	-0.0666 (-0.0780)	-0.3850 (-0.3062)	-0.2132 (-0.1931)
19.0	-18.6579 (-18.7810)	1.0156	-0.0666 (-0.0780)	-0.7245 (-0.5416)	-0.3736 (-0.3118)
18.8	-18.8591 (-18.9804)	0.9968	-0.0696 (-0.0783)	0.0570 (0.3053)	-0.0060 (-0.1121)
18.6	-19.0566 (-19.1772)	0.9779	-0.0640 (-0.0701)	0.8814 (1.1495)	0.3820 (0.5261)
18.4	-19.2503 (-19.3692)	0.9587	-0.0503 (-0.0538)	1.7306 (1.9857)	0.7853 (0.9316)
18.2	-19.4400 (-19.5572)	0.9392	-0.0287 (-0.0303)	2.5828 (2.8087)	1.1995 (1.3328)
18.0	-19.6259 (-19.7415)	0.9193	0.0000 (0.0000)	3.4129 (3.6134)	1.6205 (1.7375)
Первый слой					
Второй слой					

тельной машины составлена так, что, задавая r_1 и решая дифференциальные уравнения (3.4) и (3.5), добиваемся удовлетворения (3.9). Результаты решения приведены в табл. 2.

Для результирующей силы получаем

$$N = -1.6097 \text{ кг} (-5.8157 \text{ кг})$$

Здесь тоже сопоставляются полученные числовые результаты с соответствующими результатами для трубы из несжимаемых материалов.

Из таблиц видно, что при выворачивании двухслойной трубы наизнанку учет малой сжимаемости материалов (соответствующей $\varepsilon = 0.47$ при переходе к линейной теории) значительно изменяет напряженное состояние. Изменение деформированного состояния незначительно.

По-видимому, изменения напряженного состояния нельзя считать следствием только влияния сжимаемости материала, так как учет l_2 в W вообще изменяет зависимость между напряжениями и деформациями.

Пользуясь случаем, автор выражает глубокую благодарность К. С. Чобаянцу за постановку задачи и руководство работой.

Институт математики и механики
АН Армянской ССР

Поступила 21 II 1968

Ի. Ե. ՄՔՐՏՅԱՆ

ՍԵՂՄԵԼԻ ՆՅՈՒԹԵՐԻՑ ՓՍՏՐԱՍՏՎԱԾ ԲԱԿԱԴՐՅԱԼ ԵՌՂՈՎԱԿԻ ՉԿՐԱՆ,
ԸՆԿՈՐՁԱԿՄԱՆ ԵՎ ՈՒՐՄԱՆ ՄԵՐ ԱՌԱՉԿԱԿԱՆ ԴԵՅՈՐՄԱՑԻԱՆԵՐԸ

Ա. մ. վ. ո. վ. ո. մ.

Ներկա աշխատանքում՝ մեծ առաձգական դեֆորմացիաների տեսության հիման վրա, դիտարկվում է սեղմելի նյութերից պատրաստված, կլոր դանային խողովակներ ներկայացնող, շերտերից կազմված բազադրյալ խողովակի ձգման, բեղարձակման և ոլորման խնդրի լուծումը. երբ դեֆորմացիաների կներգրայի ֆունկցիան ունի ընդհանուր տեսք:

Ուսումնասիրվում է նաև այն դեպքը, երբ դեֆորմացիաները մեծ չեն (բայց վերջավոր են) և դեֆորմացիաների կներգրայի ֆունկցիան կարելի է արտահայտել Մուրհադանի արտահայտության միջոցով: Մասնավորապես, լվային սրինակների տեսքով. դիտարկվում է երկշերտ խողովակի շրջան խնդիրը:

Աշխատանքում սգտագործվում է՝ չամասեռ, սեղմելի նյութից պատրաստված խողովակը համար Գրինի [1,2] կազմից արված լուծումը:

R. E. MKRTCHIAN

LARGE ELASTIC DEFORMATIONS OF EXTENSION,
INFLATION AND TORSION OF A COMPRESSIBLE
COMPOSITE TUBE

S u m m a r y

The solution of the problem of large elastic deformation for extension, inflation and torsion of tubes, composed of compressible circular, cylindrical tubes is considered. The strain-energy function has been taken in a general form.

The case, when deformations are not large (but are finite), and the strain-energy function has Murnaghan's form is also considered. In particular the solution of the problem of tube composed of two layers and turned inside out is given with the help of numerical examples.

A. E. Green's solutions [1, 2] for homogeneous compressible cylindrical tubes are used.

Л И Т Е Р А Т У Р А

1. Green A. E. Finite elastic deformation of compressible isotropic bodies. Proc. Roy. Soc., A 227, 1955, 271—278.
2. Грин А., Аткинс Дж. Большие упругие деформации и нелинейная механика сплошной среды. Изд-во «Мир», М., 1965.
3. Ревлюгия, под. ред. Ф. Эйриха. ИЛ, 1962.
4. Rivlin R. S., Saunders D. W. Large elastic deformations of isotropic materials, VII. Experiments on the deformation of rubber. Phil. Trans. Roy. Soc., A 243, 1951, 251—288.
5. Расчеты на прочность в машиностроении, под редакцией С. Д. Поповарева. Машгиз, М., 1958, т. II, 522—529.
6. Чобанян К. С., Мкртчян Р. Е. Общие решения задач конечных упругих деформаций для растяжения, раздувания и кручения составных труб. Изв. АН Арм. ССР, Механика, т. XX, № 2, 1967.

С. И. ЦАТУРЯН, П. И. ЦОЙ

ОПРЕДЕЛЕНИЕ ЗАКОНОВ ИЗМЕНЕНИЯ РАСХОДА, ДАВЛЕНИЯ, ПЛОТНОСТИ И СКОРОСТИ ГАЗА ВДОЛЬ ДЛИННОГО ГАЗОПРОВОДА ПРИ НЕСТАЦИОНАРНОМ РЕЖИМЕ РАБОТЫ

§ 1. Дифференциальные уравнения движения газа. Начальные и граничные условия

Однородное изотермическое неустановившееся движение газа в длинных цилиндрических трубопроводах описывается следующей системой дифференциальных уравнений [1]:

$$\begin{aligned} \frac{\partial \rho}{\partial x} &= - \frac{\rho u G}{2 D g^2 S R T} \\ \frac{\partial \rho}{\partial t} &= - \frac{1}{g S} \frac{\partial G}{\partial x} \\ p &= g R T \rho \\ G &= g S \rho u \end{aligned} \quad (1.1)$$

где p , ρ , u — средние значения по сечению давления, плотности и скорости, l — безразмерный коэффициент сопротивления, D — диаметр трубы, g — ускорение силы тяжести, R — газовая постоянная, T — абсолютная температура, x — координата, отсчитываемая вдоль газопровода, t — время, S — площадь поперечного сечения, G — весовой расход газа по сечению трубы.

Решим систему (1.1) при следующих начальных и граничных условиях:

1. при $t \leq 0$ режим стационарный и заданный [2]

$$\begin{aligned} p &= p_0(x) = \sqrt{p_n^2 - (p_n^2 - p_k^2) \frac{x}{l}} \\ \rho &= \rho_0(x) = \frac{1}{g R T} \sqrt{p_n^2 - (p_n^2 - p_k^2) \frac{x}{l}} \\ u &= u_0(x) = \sqrt{\frac{R T g D (p_n^2 - p_k^2)}{\rho \left[p_n^2 - (p_n^2 - p_k^2) \frac{x}{l} \right]}} = \frac{G_0}{g S \rho_0(x)} \\ G &= G_0 = S \sqrt{\frac{g D (p_n^2 - p_k^2)}{\rho l T R}} = \text{const} \end{aligned} \quad (1.2)$$

$$2. \text{ при } x = 0, t > 0 \quad G(x, t) = G_0 = \text{const} \quad (1.3)$$

$$3. \text{ при } x = l, t > 0 \quad G(x, t) = G_0 + f(t) \quad (1.4)$$

где p_0 — давление газа в начале газопровода ($x = 0$)

p_l — давление газа в конце газопровода ($x = l$)

l — длина газопровода

G_0 — расход газа при стационарном режиме работы

$f(t)$ — заданная функция (обращающаяся в нуль при $t < 0$), которая показывает закон изменения расхода газа в конце газопровода.

§ 2. Дифференциальное уравнение расхода газа.

Выражение давления, плотности и скорости через расход газа

Решение системы дифференциальных уравнений (1.1) при начальных и граничных условиях (1.2) — (1.4) ищем в виде

$$\begin{aligned} p(x, t) &= p_0(x) + p'(x, t) \\ \rho(x, t) &= \rho_0(x) + \rho'(x, t) \\ u(x, t) &= u_0(x) + u'(x, t) \\ G(x, t) &= G_0 + G'(x, t) \end{aligned} \quad (2.1)$$

Здесь $p'(x, t)$, $\rho'(x, t)$, $u'(x, t)$ и $G'(x, t)$ — добавочные значения давления, плотности, скорости и расхода над стационарными значениями (существовавшими в момент $t < 0$), появляющиеся вследствие неустановившегося движения газа.

Будем предполагать, что величины $p'(x, t)$, $\rho'(x, t)$, $u'(x, t)$, $G'(x, t)$ малы.

Тогда вставляя (2.1) в (1.1) и отбрасывая члены, содержащие произведения p' , ρ' , u' и G' , для определения указанных величин получим следующую систему дифференциальных уравнений:

$$\begin{aligned} \frac{\partial \rho'}{\partial x} &= - \frac{\rho_0 (u_0 G' + G_0 u')}{2Dg^2SR^T} \\ \frac{\partial \rho'}{\partial t} &= - \frac{1}{gS} \frac{\partial G'}{\partial x} \\ \rho' &= gRT\rho' \\ G' &= gS(u_0\rho' + \rho_0 u') \end{aligned} \quad (2.2)$$

Начальные и граничные условия в силу (2.1) примут вид

$$\begin{aligned} 1. \text{ при } t < 0 \quad p'(x, t) &= \rho'(x, t) = u'(x, t) = G'(x, t) = 0 \\ 2. \text{ при } x = 0 \quad G'(x, t) &= 0 \\ 3. \text{ при } x = l \quad G'(x, t) &= f(t) \end{aligned} \quad (2.3)$$

Дифференцируя первое уравнение системы (2.2) по t , второе — по x , потом приравнявая полученные выражения и принимая в расчет четвертое уравнение той же системы, можно переписать систему в форме

$$\begin{aligned} \frac{\partial^2 G'}{\partial x^2} &= \frac{i u_0}{D g R T} \frac{\partial G'}{\partial t} + \frac{i u_1}{2 D g R T} \frac{\partial G'}{\partial x} \\ \frac{\partial \rho'}{\partial t} &= - \frac{1}{g S} \frac{\partial G'}{\partial x} \\ \rho' &= g R T \rho'' \\ u' &= \frac{1}{g S \gamma_0} (G' - g S u_0 \rho') \end{aligned} \quad (2.4)$$

Для удобства будем безразмерные величины. Для этого положим

$$\begin{aligned} G' &= G_0 G^* & \rho_0 &= \rho_k \rho^* & \rho' &= \rho_1 \rho^{**} \\ x &= L x^* & \rho' &= \rho_k \rho^{**} & u_0 &= V u_1^* \\ t &= t_0 t^* & \rho_0 &= \rho_k \rho^* & u' &= V u^{**} \end{aligned} \quad (2.5)$$

где G_0 , l , t_0 , ρ_k , ρ_1 , V — соответственно характерные расход, длина, время, давление, плотность и скорость. За характерное давление принято давление газа в конце ($x = l$) газопровода при стационарном режиме работы, за характерный расход — расход газа при стационарном ($t \leq 0$) режиме работы, за характерную длину — длина газопровода. Характерные время, плотность и скорость определяются из системы уравнений (2.4) в виде

$$t_0 = \frac{l^2 G_0}{g \rho_k S D}, \quad \rho_k = \frac{p_k}{g R T}, \quad V = \frac{G_0 R T}{S p_k} \quad (2.6)$$

После перехода к безразмерным величинам, система уравнений (2.4) примет вид

$$\begin{aligned} \frac{\partial^2 G}{\partial x^2} &= \frac{1}{|k^2 - (k^2 - 1)x|} \frac{\partial G}{\partial t} + \frac{k^2 - 1}{2 |k^2 - (k^2 - 1)x|} \frac{\partial G}{\partial x} \\ p = \rho &= - (k^2 - 1) \int_0^x \frac{\partial G(x, z)}{\partial x} dz \\ u &= \frac{G}{|k^2 - (k^2 - 1)x|} + \frac{k^2 - 1}{[k^2 - (k^2 - 1)x]} \int_0^x \frac{\partial G(x, z)}{\partial x} dz \end{aligned} \quad (2.7)$$

где

$$k = \frac{p_0}{p_1} > 1$$

Здесь и в дальнейшем для простоты штрихи и звездочки опущены.

Начальные и граничные условия в безразмерных величинах будут

1. при $t \leq 0$ $G(x, t) = p(x, t) = \rho(x, t) = u(x, t) = 0$
2. при $x = 0$ $G(x, t) = 0$
3. при $x = 1$ $G(x, t) = f(t)$

Из системы уравнений (2.7) видно, что если известен расход газа, т. е. $G(x, t)$, то без труда можно определить как давление и плотность, так и скорость в любой момент времени t в любом сечении газопровода.

Поэтому перейдем к определению расхода газа, т. е. к решению первого уравнения системы (2.7) с начальными и граничными условиями (2.8).

§ 3. Решение первого уравнения системы (2.7)

Для решения указанного уравнения введем новые переменные в виде

$$z = 1 + \sqrt{k^2 - (k^2 - 1)x}, \quad t_1 = \frac{(k^2 - 1)^{1/2}}{4} t \quad (3.1)$$

Тогда первое уравнение системы (2.7) примет вид

$$\frac{\partial^2 G}{\partial z^2} = z \frac{\partial G}{\partial t_1} \quad (3.2)$$

При этом начальное и граничные условия будут

1. при $t = 0$ $G = 0$
2. при $z = k$ $G = 0$
3. при $z = 1$ $G = f(t)$

(Индекс „1“ в дальнейшем будет опущен).

Применим преобразование Лапласа к уравнению (3.2), для чего, умножив обе части указанного уравнения на $e^{-\alpha t}$, где $\alpha = \alpha_1 + i\alpha_2$, и проинтегрировав по t от 0 до ∞ , найдем трансформату Лапласа

$$Q(z, \alpha) = \int_0^\infty e^{-\alpha t} G(z, t) dt, \text{ которая удовлетворяет следующему обыкновенному дифференциальному уравнению:}$$

$$\frac{d^2 Q}{dz^2} - \alpha z Q = 0 \quad (3.4)$$

с граничными условиями

1. при $z = k$ $Q = 0$
 2. при $z = 1$ $Q = F(\sigma)$ (3.5)

где

$$F(z) = \int_0^z e^{-st} f(t) dt$$

Решение уравнения (3.4) записывается в форме [3]

$$Q(z, \sigma) = z^\nu \left[C_1 I_\nu \left(\frac{2}{3} z^{3/2} \sqrt{\sigma} \right) + C_2 I_{-\nu} \left(\frac{2}{3} z^{3/2} \sqrt{\sigma} \right) \right] \quad (3.6)$$

где C_1, C_2 — постоянные интегрирования,

$I_\nu \left(\frac{2}{3} z^{3/2} \sqrt{\sigma} \right)$ — модифицированная функция Бесселя первого рода порядка $\nu \left(\nu = \frac{1}{3}; -\frac{1}{3} \right)$.

Постоянные C_1, C_2 определяются граничными условиями (3.5).

Определяя эти постоянные и подставляя их в (3.6), получим

$$Q(z, \sigma) = z^\nu \frac{F(\sigma)}{M(\sigma)} \left[I_\nu \left(\frac{2}{3} k^{3/2} \sqrt{\sigma} \right) I_{-\nu} \left(\frac{2}{3} z^{3/2} \sqrt{\sigma} \right) - I_{-\nu} \left(\frac{2}{3} k^{3/2} \sqrt{\sigma} \right) I_\nu \left(\frac{2}{3} z^{3/2} \sqrt{\sigma} \right) \right]$$

где

$$M(\sigma) = I_\nu \left(\frac{2}{3} k^{3/2} \sqrt{\sigma} \right) I_{-\nu} \left(\frac{2}{3} \sqrt{\sigma} \right) - I_{-\nu} \left(\frac{2}{3} k^{3/2} \sqrt{\sigma} \right) I_\nu \left(\frac{2}{3} \sqrt{\sigma} \right)$$

По теореме обращения имеем

$$G(z, t) = \frac{z^{3/2}}{2\pi i} \int_{\sigma-i\infty}^{\sigma+i\infty} \frac{F(\sigma)}{M(\sigma)} \left[I_\nu \left(\frac{2}{3} k^{3/2} \sqrt{\sigma} \right) I_{-\nu} \left(\frac{2}{3} z^{3/2} \sqrt{\sigma} \right) - I_{-\nu} \left(\frac{2}{3} k^{3/2} \sqrt{\sigma} \right) I_\nu \left(\frac{2}{3} z^{3/2} \sqrt{\sigma} \right) \right] e^{\sigma t} d\sigma \quad (3.7)$$

Сначала найдем решение данной задачи для частного случая, когда заданная функция $f(t)$ определяется в виде

$$f(t) = a \sin \omega t \quad (3.8)$$

где $a = \text{const.}$

Тогда

$$F(z) = a \int_0^z e^{-st} \sin \omega t dt = \frac{a\omega}{\sigma^2 + \omega^2}$$

При этом формула (3.7) примет вид

$$G(z, t) = \frac{\alpha^0 z^{1/2}}{2\pi i} \int_{\epsilon-i\infty}^{\epsilon+i\infty} \frac{e^{st}}{(s^2 + \omega^2) M(s)} \left[I_{1/2} \left(\frac{2}{3} k^{3/2} \sqrt{s} \right) I_{-1/2} \left(\frac{2}{3} z^{3/2} \sqrt{s} \right) - \right. \\ \left. - I_{-1/2} \left(\frac{2}{3} k^{3/2} \sqrt{s} \right) I_{1/2} \left(\frac{2}{3} z^{3/2} \sqrt{s} \right) \right] ds \quad (3.9)$$

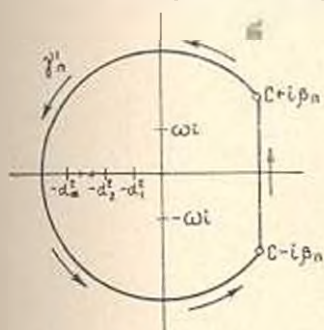
Обозначим через

$$\Phi(z, s) = \frac{1}{(s^2 + \omega^2) M(s)} \left[I_{1/2} \left(\frac{2}{3} k^{3/2} \sqrt{s} \right) I_{-1/2} \left(\frac{2}{3} z^{3/2} \sqrt{s} \right) - \right. \\ \left. - I_{-1/2} \left(\frac{2}{3} k^{3/2} \sqrt{s} \right) I_{1/2} \left(\frac{2}{3} z^{3/2} \sqrt{s} \right) \right] \quad (3.10)$$

Тогда (3.9) запишется в форме

$$G(z, t) = \frac{\alpha^0 z^{1/2}}{2\pi i} \int_{\epsilon-i\infty}^{\epsilon+i\infty} \Phi(z, s) e^{st} ds \quad (3.11)$$

Для вычисления интеграла (3.11) применим теорему о вычетах. Обозначим через γ_n часть окружности γ_n , расположенную слева от прямой $R: z = c$, через $c = i\beta_n$ — точки пересечения γ_n с этой прямой и через Γ_n — замкнутый контур, составленный из отрезка $(c - i\beta_n, c + i\beta_n)$ и γ_n и проходимый против часовой стрелки (фиг. 1). Тогда



Фиг. 1.

$$\int_{c-i\beta_n}^{c+i\beta_n} \Phi(z, s) e^{st} ds = \\ = \int_{\Gamma_n} \Phi(z, s) e^{st} ds - \int_{\gamma_n} \Phi(z, s) e^{st} ds$$

Из выражения (3.10) видно, что функция $\Phi(z, s)$ имеет полюсы в точках $s = \pm i\omega$ и $s = -\alpha_m^2$, где $i\alpha_m = \mu_m$ ($m = 1, 2, 3, \dots$) — корни следующего трансцендентного уравнения [4]

$$I_{1/2} \left(\frac{2}{3} k^{3/2} \sqrt{s} \right) I_{-1/2} \left(\frac{2}{3} \sqrt{s} \right) - I_{-1/2} \left(\frac{2}{3} k^{3/2} \sqrt{s} \right) I_{1/2} \left(\frac{2}{3} \sqrt{s} \right) = 0$$

а α_m ($m = 1, 2, \dots$) — корни уравнения [4]

$$I_{-1/2} \left(\frac{2}{3} k^{3/2} \sqrt{s} \right) I_{-1/2} \left(\frac{2}{3} \sqrt{s} \right) - I_{-1/2} \left(\frac{2}{3} k^{3/2} \sqrt{s} \right) I_{1/2} \left(\frac{2}{3} \sqrt{s} \right) = 0 \quad (3.12)$$

где $I_\nu(z)$, $\left(\nu = \frac{2}{3} \sqrt{z}, \frac{2}{3} k \sqrt{z}\right)$ — функции Бесселя первого рода порядка ν $\left(\nu = \frac{1}{3}, -\frac{1}{3}\right)$. Отсюда следует, что существует система окружностей γ_n , $|\sigma| = R_n$, $R_1 < R_2 < R_3 < \dots < R_n \rightarrow \infty$, на которой $\Phi(z, \sigma) \rightarrow 0$ равномерно относительно $\arg \sigma$. Но так как по лемме Жордана [5] при $t > 0$

$$\lim_{n \rightarrow \infty} \int_{\gamma_n} \Phi(z, \sigma) e^{\sigma t} d\sigma = 0$$

то при $t > 0$ вместо (3.11) можно написать

$$G(z, t) = \frac{\omega a z^{1/3}}{2\pi i} \lim_{n \rightarrow \infty} \int_{\gamma_n} \Phi(z, \sigma) e^{\sigma t} d\sigma$$

Применяя теорему Коши о вычетах, мы получим, что

$$G(z, t) = \omega a z^{1/3} \lim_{n \rightarrow \infty} \sum_{\sigma \in \Gamma_n} \text{res } \Phi(z, \sigma) e^{\sigma t} \quad (3.13)$$

где сумма берется по всем особым точкам функции $\Phi(z, \sigma)$, лежащим внутри Γ_n .

Имея в виду указанные полюсы, (3.13) можно переписать в следующей форме:

$$G(z, t) = \omega a z^{1/3} \left\{ \text{res } [\Phi(z, i\omega)] e^{i\omega t} + \text{res } [\Phi(z, -i\omega)] e^{-i\omega t} + \sum_{m=1}^{\infty} \text{res } [\Phi(z, -\alpha_m^2)] e^{-\alpha_m^2 t} \right\} \quad (3.14)$$

Вычисляя (3.14), получим

$$G(z, t) = \omega a z^{1/3} \left\{ \frac{[A(1, k, \omega) A(z, k, \omega) + B(1, k, \omega) B(z, k, \omega)] \sin \omega t}{\omega [A^2(1, k, \omega) + B^2(1, k, \omega)]} + \frac{[A(1, k, \omega) B(z, k, \omega) - B(1, k, \omega) A(z, k, \omega)] \cos \omega t}{\omega [A^2(1, k, \omega) + B^2(1, k, \omega)]} - \frac{2\pi}{\sqrt{3}} \sum_{m=1}^{\infty} e^{-\alpha_m^2 t} \frac{\alpha_m^2 J_{1/3}\left(\frac{2}{3} \alpha_m\right) J_{1/3}\left(\frac{2}{3} \alpha_m k^{1/3}\right)}{(\omega^2 + \alpha_m^4) \left[J_{1/3}^2\left(\frac{2}{3} \alpha_m\right) - J_{1/3}^2\left(\frac{2}{3} \alpha_m k^{1/3}\right) \right]} \times \left[J_{1/3}\left(\frac{2}{3} \alpha_m k^{1/3}\right) J_{-1/3}\left(\frac{2}{3} \alpha_m z^{1/3}\right) - J_{-1/3}\left(\frac{2}{3} k^{1/3} \alpha_m\right) J_{1/3}\left(\frac{2}{3} \alpha_m z^{1/3}\right) \right] \right\} \quad (3.15)$$

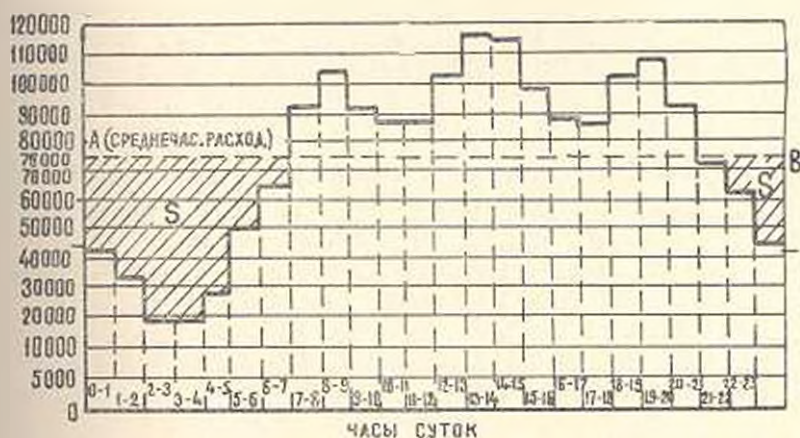
где

$$\begin{aligned}
 A(z, k, \omega) &= u_{1/2} \left(\frac{2}{3} k^{3/2} \sqrt{\omega} \right) u_{-1/2} \left(\frac{2}{3} z^{3/2} \sqrt{\omega} \right) + \\
 &+ v_{-1/2} \left(\frac{2}{3} k^{3/2} \sqrt{\omega} \right) v_{1/2} \left(\frac{2}{3} z^{3/2} \sqrt{\omega} \right) - u_{-1/2} \left(\frac{2}{3} k^{3/2} \sqrt{\omega} \right) u_{1/2} \left(\frac{2}{3} z^{3/2} \sqrt{\omega} \right) - \\
 &- v_{1/2} \left(\frac{2}{3} k^{3/2} \sqrt{\omega} \right) v_{-1/2} \left(\frac{2}{3} z^{3/2} \sqrt{\omega} \right) \\
 B(z, k, \omega) &= u_{-1/2} \left(\frac{2}{3} k^{3/2} \sqrt{\omega} \right) v_{1/2} \left(\frac{2}{3} z^{3/2} \sqrt{\omega} \right) + \\
 &+ v_{-1/2} \left(\frac{2}{3} k^{3/2} \sqrt{\omega} \right) u_{1/2} \left(\frac{2}{3} z^{3/2} \sqrt{\omega} \right) - v_{1/2} \left(\frac{2}{3} k^{3/2} \sqrt{\omega} \right) u_{-1/2} \left(\frac{2}{3} z^{3/2} \sqrt{\omega} \right) - \\
 &- u_{1/2} \left(\frac{2}{3} k^{3/2} \sqrt{\omega} \right) v_{-1/2} \left(\frac{2}{3} z^{3/2} \sqrt{\omega} \right) \\
 u_{\pm}(\zeta) &= \operatorname{Re} [J_{\pm}(\zeta \sqrt{V \pm i})], \quad \zeta = \frac{2}{3} z^{3/2} \sqrt{\omega}, \quad \frac{2}{3} k^{3/2} \sqrt{\omega} \\
 v_{\pm}(\zeta) &= \pm \operatorname{Im} [J_{\pm}(\zeta \sqrt{V \pm i})] \quad v = 1/2, -1/2
 \end{aligned}$$

Из выражений $A(z, k, \omega)$ и $B(z, k, \omega)$ видно, что

$$A(k, k, \omega) = B(k, k, \omega) = 0$$

Известно, что весовой расход газа в последнем сечении газопровода (т. е. в сечении $x=L$, или $z=1$) дается следующим графиком [6] фиг. 2.



Фиг. 2.

Этот график можно представить функцией $f(t)$ с периодом T (T есть суточное время)

где

$$f(t) = \begin{cases} f_1(t) & \text{при } 0 = t_0 < t < t_1 \\ f_2(t) & \text{при } t_1 < t < t_2 \\ \dots & \dots \\ f_r(t) & \text{при } t_{r-1} < t < t_r = T \end{cases} \quad (3.16)$$

Разлагая $f(t)$ в ряд Фурье по синусам, получим

$$f(t) = \sum_{n=1}^{\infty} b_n \sin \frac{n\pi t}{T} \quad (3.17)$$

где

$$b_n = \frac{2}{T} \sum_{j=1}^r \int_{t_{j-1}}^{t_j} f_j(t) \sin \omega_n t dt; \quad \omega_n = \frac{n\pi}{T}$$

Применяя преобразования Лапласа относительно (3.17), получим

$$F(s) = \sum_{n=1}^{\infty} \frac{b_n \omega_n}{s^2 + \omega_n^2} \quad (3.18)$$

В силу (3.18) формула (3.9) примет вид, т. е. для расхода получим следующую формулу:

$$G(z, t) = \frac{z^{1/2}}{2\pi i} \int_{c-i\infty}^{c+i\infty} \left\{ \sum_{n=1}^{\infty} \frac{b_n \omega_n}{(s^2 + \omega_n^2)} \times \right. \\ \left. \times \frac{\left[I_{1/2} \left(\frac{2}{3} k^{3/2} \sqrt{s} \right) I_{-1/2} \left(\frac{2}{3} z^{3/2} \sqrt{s} \right) - I_{-1/2} \left(\frac{2}{3} k^{3/2} \sqrt{s} \right) I_{1/2} \left(\frac{2}{3} z^{3/2} \sqrt{s} \right) \right] e^{st} ds}{\left[I_{1/2} \left(\frac{2}{3} k^{3/2} \sqrt{s} \right) I_{-1/2} \left(\frac{2}{3} \sqrt{s} \right) - I_{-1/2} \left(\frac{2}{3} k^{3/2} \sqrt{s} \right) I_{1/2} \left(\frac{2}{3} \sqrt{s} \right) \right]} \right\} \quad (3.19)$$

Интеграл (3.19) определяется точно так же, как и интеграл (3.9). Применение вышеуказанной теории о вычетах к интегралу дает

$$G(z, t) = z^{1/2} \left\{ \sum_{n=1}^{\infty} \left(\frac{b_n [A(1, k, \omega_n) A(z, k, \omega_n) + B(1, k, \omega_n) B(z, k, \omega_n)] \sin \omega_n t}{A^2(1, k, \omega_n) + B^2(1, k, \omega_n)} + \right. \right. \\ \left. \left. + \frac{b_n [A(1, k, \omega_n) B(z, k, \omega_n) - B(1, k, \omega_n) A(z, k, \omega_n)] \cos \omega_n t}{A^2(1, k, \omega_n) + B^2(1, k, \omega_n)} \right) - \right. \\ \left. - \frac{2\pi}{\sqrt{3}} \sum_{n=1}^{\infty} \sum_{m=1}^{\infty} \frac{b_n \omega_n \alpha_m^2 e^{-\alpha_m^2 t} J_{1/2} \left(\frac{2}{3} \alpha_m \right) J_{1/2} \left(\frac{2}{3} k^{3/2} \alpha_m \right)}{(\omega_n + \alpha_m^2) \left[J_{1/2}^2 \left(\frac{2}{3} \alpha_m \right) - J_{1/2}^2 \left(\frac{2}{3} \alpha_m k^{3/2} \right) \right]} \times \right. \\ \left. \times \left[J_{1/2} \left(\frac{2}{3} \alpha_m k^{3/2} \right) J_{-1/2} \left(\frac{2}{3} \alpha_m z^{3/2} \right) - J_{-1/2} \left(\frac{2}{3} \alpha_m k^{3/2} \right) J_{1/2} \left(\frac{2}{3} \alpha_m z^{3/2} \right) \right] \right\}$$

§ 4. Определение давления, плотности и скорости

В силу (3.1) второе и третье уравнения системы (2.7) соответственно примут вид

$$p - \bar{p} = \frac{2}{z} \int_0^z \frac{\partial G(z, z)}{\partial z} dz \quad (4.1)$$

$$u = \frac{G}{z} - \frac{2}{z} \int_0^z \frac{\partial G(z, z)}{\partial z} dz \quad (4.2)$$

Если $f(t)$ изменяется по синусоидальному закону, то имея в виду (3.15), для давления, плотности и скорости получаем следующие формулы:

$$\begin{aligned} p(z, t) = \rho(z, t) = & \frac{a}{\omega |z^3 [A^2(1, k, \omega) + B^2(1, k, \omega)]} \left\{ [A(1, k, \omega)(1 - \right. \\ & \left. - \cos \omega t) - B(1, k, \omega) \sin \omega t] [A(z, k, \omega) + 2zA'(z, k, \omega)] + \right. \\ & \left. + [B(1, k, \omega)(1 - \cos \omega t) + A(1, k, \omega) \sin \omega t] [B(z, k, \omega) + \right. \\ & \left. + 2zB'(z, k, \omega)] \right\} + \frac{2\pi a \omega}{V 3z^3} \sum_{m=1}^{\infty} \frac{(1 - e^{-\alpha_m^2 t})}{(\omega^2 + \alpha_m^4)} \times \\ & \times \frac{J_{1/2}\left(\frac{2}{3}\alpha_m\right) J_{1/2}\left(\frac{2}{3}\alpha_m k^{1/2}\right)}{\left[J_{1/2}^2\left(\frac{2}{3}\alpha_m k^{3/2}\right) - J_{1/2}^2\left(\frac{2}{3}\alpha_m\right) \right]} \times \\ & \times \left\{ J_{1/2}\left(\frac{2}{3}k^{3/2}\alpha_m\right) \left[J_{-1/2}\left(\frac{2}{3}\alpha_m z^{3/2}\right) + \alpha_m z^{3/2} J'_{-1/2}\left(\frac{2}{3}\alpha_m z^{3/2}\right) \right] - \right. \\ & \left. - J_{-1/2}\left(\frac{2}{3}k^{3/2}\alpha_m\right) \left[J_{1/2}\left(\frac{2}{3}\alpha_m z^{3/2}\right) + \alpha_m z^{3/2} J'_{1/2}\left(\frac{2}{3}\alpha_m z^{3/2}\right) \right] \right\} \\ u = & \frac{G}{z} - \frac{p}{z^2} \quad (4.4) \end{aligned}$$

где G и p определяются соответственно выражениями (3.15) и (4.3). Если же $f(t)$ дается по (3.16), то для давления и плотности получаем следующую формулу:

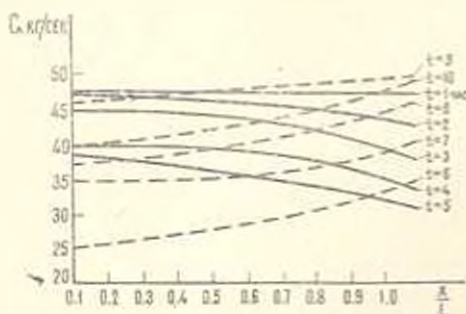
$$\begin{aligned} p(z, t) = \rho(z, t) = & \frac{1}{V z^3} \sum_{n=1}^{\infty} \frac{b_n}{\omega_n [A^2(1, k, \omega_n) + B^2(1, k, \omega_n)]} \times \\ & \times \left\{ [A(1, k, \omega_n)(1 - \cos \omega_n t) - B(1, k, \omega_n) \sin \omega_n t] [A(z, k, \omega_n) + \right. \\ & \left. + 2zA'(z, k, \omega_n)] + [B(1, k, \omega_n)(1 - \cos \omega_n t) + \right. \end{aligned}$$

$$\begin{aligned}
 & + A(1, k, \omega_n) \sin \omega_n t [B(z, k, \omega_n) + 2zB'(z, k, \omega_n)] + \\
 & + \frac{2\pi}{V3z^2} \sum_{n=1}^{\infty} \sum_{m=1}^{\infty} \frac{b_n z_m^2 (1 - e^{-z_m^2 t}) J_{1/2}(\frac{2}{3} z_m) J_{1/2}(\frac{2}{3} z_m k^{1/2})}{(\omega_n^2 + z_m^2) \left[J_{1/2}^2(\frac{2}{3} z_m k^{1/2}) - J_{1/2}^2(\frac{2}{3} z_m) \right]} \times (4.5) \\
 & \times \left\{ J_{1/2}(\frac{2}{3} z_m k^{1/2}) \left[J_{-1/2}(\frac{2}{3} z_m z^{1/2}) + z_m z^{1/2} J'_{-1/2}(\frac{2}{3} z_m z^{1/2}) \right] - \right. \\
 & \left. - J_{-1/2}(\frac{2}{3} z_m k^{1/2}) \left[J_{1/2}(\frac{2}{3} z_m z^{1/2}) + z_m z^{1/2} J'_{1/2}(\frac{2}{3} z_m z^{1/2}) \right] \right\}
 \end{aligned}$$

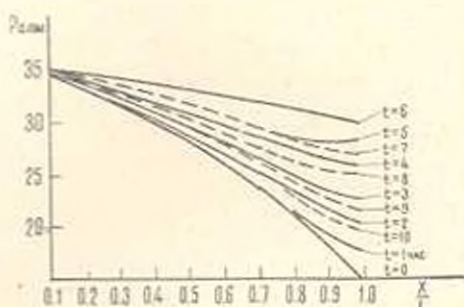
а скорость определяется формулой (4.4), только в этом случае G и p определяются соответственно выражениями (3.20) и (4.5).

Пример расчета

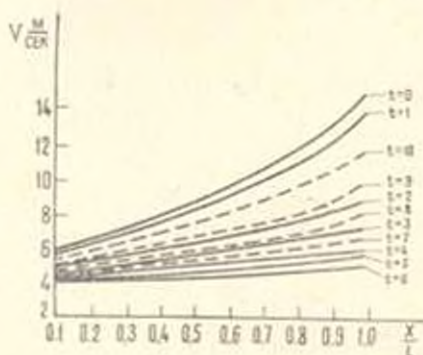
Для примера необходимые данные (l , p_0 , p_1 , R , T , D , ν) и функция $f(t)$, которая показывает закон изменения расхода в конце газопровода, взяты из работы [7]. Разлагая функцию $f(t)$ в ряд Фурье по синусам и ограничиваясь четвертым членом ряда, а также определяя ω_n ($m = 1, 2, 3, 4$) корни уравнения (3.12) по формуле [4] (стр. 307), согласно формулам (2.1), (3.20), (4.4), (4.5) для расхода, давления и скорости построены графики (фиг. 3, 4, 5).



Фиг. 3.



Фиг. 4.



Фиг. 5.

Сопоставляя эти фигуры с рисунками (1, 2, 3) работы [7], легко заметить, что между ними нет качественной разницы, а существует только количественная разница.

Тульский политехнический
институт

Поступила 5 VII 1967

Ս. Ի. ՇԱՏՈՒՐԻԱՆ, Պ. Լ. ԹՅՈՅ

ԵՐԿԱՐ ԳՕԶԱՍՏՈՒՂԻ ԵՐԿԱՐՈՒԹՅԱՄԲ ԳԱԶԻ ԵՐԱԿՈՒ, ՃՆՇՄԱՆ, ԽՏՈՒԹՅԱՆ,
ԵՎ ԱՐԱԳՈՒԹՅԱՆ ՓՈՓՈԽՄԱՆ ՈՐԵՆՔՆԵՐԻ ՈՐՈՇՈՒՄԸ
ՈՉ-ՍՏԱՅԻՈՆԱԸ ԱՇԽԱՏԱՆՔԱՅԻՆ ԲԵՏԻՄԻ ԳԵՊԲՈՒՄ

Ա Վ Փ Ո Փ Ո Վ

Աշխատանքում ստացված են բանաձևեր՝ ժամանակի ցանկացած պահանքում, երկար դադամուղի ցանկացած նստույթում՝ դադի ծախսի, ճնշման, խտության և արագության որոշման համար, եթե տրված է դադի ծախսի փոփոխությունը դադամուղի վերջում: Արհամարված են ճնշման, խտության, արագության և ծախսի լրացուցիչ արժեքների արտադրյալները նրանց ստացիոնար արժեքների համեմատությամբ (սրունք գոյություն ունենալիս — $t=0$), որոնք ի հայտ են գալիս ոչ-հաստատված շարժման հետևանքով:

S. I. TZATURIAN, P. L. TSOY

THE DETERMINATION OF THE LAWS OF GAS CONSUMPTION,
PRESSURE, DENSITY, AND VELOCITY CHANGES ALONG A
LONG GAS PIPELINE WITH A TIME DEPENDING
WORK REGIME

S u m m a r y

Formulae for the determination of gas consumption, pressure, density, and velocity in any section along a long gas pipeline at any period of time with the gas consumption change given at the end of the gas pipeline, neglecting the products of additional pressure, density, velocity and consumption values in comparison with the stationary values (existing at the $t=0$ moment), that appear as a result of the non-stationary gas movement are derived in this paper.

Л И Т Е Р А Т У Р А

1. Чарный И. А. Неуставившееся движение реальной жидкости в трубах. Гостехтеориздат, М.—Л., 1951.
2. Смирнов А. С., Ширковский А. И. Добыча и транспорт газа. Гостехиздат, 1957.
3. Ватсон Г. Н. Теория Бесселевых функций, ч. 1, изд. ИЛ, 1949.

4. Грей Э. и Митчелл Г. Б. Функции Бесселя и их приложения в физике и механике. ИЛ, М., 1953.
5. Лаврентьев М. А., Шабит Б. В. Методы теории функций комплексного переменного. Физматгиз, М., 1958.
6. Смирнов А. С., Генкина Л. А. и др. Транспорт и хранение газа. Гостехиздат, М., 1962.
7. Бабаджанян Г. А. Движение газа в длинном газопроводе при переменном расходе на конце трубы. Изв. высших учебных заведений, „Нефть и газ“, № 1, 1961.

М. А. ЗАДОЯН

ЗАДАЧА УСТАНОВИВШЕЙСЯ ПОЛЗУЧЕСТИ
 ПРИЗМАТИЧЕСКОГО СТЕРЖНЯ ПРИ СОВМЕСТНОМ
 РАСТЯЖЕНИИ, ИЗГИБЕ И КРУЧЕНИИ

Рассматривается задача установившейся ползучести призматического стержня, на торцах которого действуют растягивающие силы N , изгибающие и крутящие моменты M_x , M_y , M_{xy} (фиг. 1). Для стержней с узким прямоугольным сечением при совместном воздействии растяжения и изгиба такая задача решена до конца Л. М. Качановым [1]. Предельное состояние призматического стержня из идеально жестко-пластического материала при совместном растяжении, изгибе и кручении ранее исследовано Р. Хиллом [2].

Приведем общие уравнения теории установившейся ползучести [1]:
 уравнения равновесия

$$\frac{\partial \sigma_x}{\partial x} + \frac{\partial \tau_{xy}}{\partial y} + \frac{\partial \tau_{xz}}{\partial z} = 0 \quad (x, y, z) \quad (1)$$

соотношения между компонентами напряжений и скоростей деформации

$$\dot{\epsilon}_x - \dot{\epsilon} = f(\xi_i) \xi_x, \quad \dot{\gamma}_{xz} = f(\xi_i) \gamma_{xz} \quad (2)$$

причем

$$\dot{\epsilon}_i = f(\xi_i) \xi_i \quad (3)$$

Здесь ξ_i и $\dot{\epsilon}_i$ — интенсивности касательных напряжений и скоростей деформации

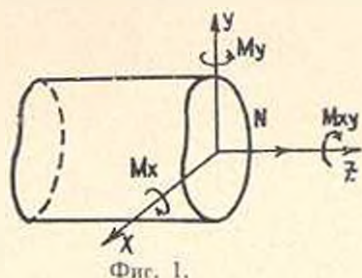
$$\xi_i = \frac{1}{\sqrt{6}} \sqrt{(\sigma_x - \sigma_y)^2 + (\sigma_y - \sigma_z)^2 + (\sigma_z - \sigma_x)^2 + 6(\tau_{xy}^2 + \tau_{yz}^2 + \tau_{xz}^2)} \quad (4)$$

$$\dot{\epsilon}_i = \frac{1}{\sqrt{6}} \sqrt{(\dot{\epsilon}_x - \dot{\epsilon}_y)^2 + (\dot{\epsilon}_y - \dot{\epsilon}_z)^2 + (\dot{\epsilon}_z - \dot{\epsilon}_x)^2 + 6(\dot{\gamma}_{xy}^2 + \dot{\gamma}_{yz}^2 + \dot{\gamma}_{xz}^2)}$$

Скорости деформации выражаются через скорости перемещения соотношениями

$$\dot{\epsilon}_x = \frac{\partial u}{\partial x}, \quad 2\dot{\gamma}_{xy} = \frac{\partial u}{\partial y} + \frac{\partial v}{\partial x} \quad (x, y, z) \quad (5)$$

Иногда вместо (2)–(3) даются зависимости



$$\xi_x = F'(z_i)(z_x - z), \quad \tau_{xz} = F'(z_i) \tau_{xz} \quad (6)$$

$$\xi_i = F(z_i) z_i \quad (7)$$

Исходя из характера течения, принимаем тензор скоростей деформации независимым от продольной координаты z . Тогда скорости перемещения представим в виде [3]

$$u = u_0(x, y) + \left(2\tau_{xz} - \frac{\partial w_0}{\partial x}\right) z - \frac{\partial^2 \xi_z}{\partial x^2} \frac{z^2}{2} \quad (8)$$

$$v = v_0(x, y) + \left(2\tau_{yz} - \frac{\partial w_0}{\partial y}\right) z - \frac{\partial^2 \xi_z}{\partial y^2} \frac{z^2}{2} \quad (9)$$

$$w = w_0(x, y) + \xi_z z \quad (10)$$

где u_0, v_0, w_0 — произвольные функции x и y . Отсюда находим соотношения

$$\xi_x = \frac{\partial u_0}{\partial x}, \quad \xi_y = \frac{\partial v_0}{\partial y}, \quad 2\tau_{xy} = \frac{\partial u_0}{\partial y} + \frac{\partial v_0}{\partial x} \quad (11)$$

и систему уравнений

$$\frac{\partial^2 \xi_z}{\partial x^2} = 0, \quad \frac{\partial^2 \xi_z}{\partial y^2} = 0, \quad \frac{\partial^2 \xi_z}{\partial x \partial y} = 0 \quad (12)$$

$$\frac{\partial}{\partial x} \left(2\tau_{xz} - \frac{\partial w_0}{\partial x}\right) = 0, \quad \frac{\partial}{\partial y} \left(2\tau_{yz} - \frac{\partial w_0}{\partial y}\right) = 0 \quad (13)$$

$$\frac{\partial}{\partial y} \left(2\tau_{xz} - \frac{\partial w_0}{\partial x}\right) + \frac{\partial}{\partial x} \left(2\tau_{yz} - \frac{\partial w_0}{\partial y}\right) = 0 \quad (14)$$

откуда заключаем, что

$$\xi_z = Ax + By + C \quad (15)$$

$$\frac{\partial w_0}{\partial x} = 2\tau_{xz} - Dy - z, \quad \frac{\partial w_0}{\partial y} = 2\tau_{yz} + Dx - z \quad (16)$$

где A, B, C, D, z, β — произвольные постоянные.

На боковой поверхности стержня $\tau_x = \tau_y = \tau_{xy} = 0$. Примем, что эти напряжения равны нулю и по всему объему тела. Тогда

$$\xi_x = \xi_y = -\frac{1}{2} \xi_z, \quad \tau_{xy} = 0 \quad (17)$$

Сравнивая соотношения (11) и (17), находим

$$u_0 = -\frac{A}{4}(x^2 - y^2) - \frac{B}{2}xy - \frac{C}{2}x + Dy + g \quad (18)$$

$$v_0 = -\frac{B}{4}(y^2 - x^2) - \frac{A}{2}xy - \frac{C}{2}y - Dy + h$$

Подставляя (18), (15) и (16) в (8) и (9), получим

$$u = -\frac{A}{4}(2z^2 + x^2 - y^2) - \frac{B}{2}xy + Dyz - \frac{C}{2}x + Ey + \alpha z + q \quad (19)$$

$$v = -\frac{B}{4}(2z^2 - x^2 + y^2) - \frac{A}{2}xy - Dxz - \frac{C}{2}y - Ex + \beta z + h \quad (20)$$

$$w = w_0(x, y) + Axz + Byz + Cz \quad (21)$$

Легко заметить, что τ_{xz} , τ_{yz} и σ_z , где

$$\sigma_z = \frac{3}{2} \frac{\xi_z}{F(\xi_i)} = \frac{3}{2} \xi_i f(\xi_i) \quad (22)$$

являются функциями лишь от x и y . Тогда уравнения равновесия (1) переходят в уравнение

$$\frac{\partial \tau_{xz}}{\partial x} + \frac{\partial \tau_{yz}}{\partial y} = 0 \quad (23)$$

Вводя функцию напряжения [1, 2]

$$\tau_{xz} = -\frac{\partial H}{\partial y}, \quad \tau_{yz} = \frac{\partial H}{\partial x} \quad (24)$$

для ξ будем иметь

$$\sigma_i = \sqrt{\frac{1}{3} \sigma_z^2 + \left(\frac{\partial H}{\partial x}\right)^2 + \left(\frac{\partial H}{\partial y}\right)^2} \quad (25)$$

Вводя обозначение $F(\xi_i) = f^{-1}(\xi_i) = \Phi(x, y)$ и принимая степенной закон для F

$$F(\xi_i) = k \xi_i^{m-1} \quad (26)$$

из (16), (6), (25), (26) получим систему дифференциальных уравнений относительно H и Φ

$$\frac{\partial}{\partial x} \left(\Phi \frac{\partial H}{\partial x} \right) + \frac{\partial}{\partial y} \left(\Phi \frac{\partial H}{\partial y} \right) + D = 0 \quad (27)$$

$$\Phi^{2m-1} - k^{m-1} \left[\left(\frac{\partial H}{\partial x}\right)^2 + \left(\frac{\partial H}{\partial y}\right)^2 \right] \Phi^2 - \frac{3}{4} k^{m-1} (Ax + By + C)^2 = 0 \quad (28)$$

Для функции напряжения имеем условие $H = 0$ на контуре поперечного сечения и условие

$$M_{xy} = \iint_{\Omega} H d\Omega \quad (29)$$

Имеем также статические условия

$$M_x = \frac{3}{2} \iint_{\Omega} \frac{Ax + By + C}{\Phi} y d\Omega, \quad M_y = \frac{3}{2} \iint_{\Omega} \frac{Ax + By + C}{\Phi} x d\Omega \quad (30)$$

В частном случае, когда $m = 2$, из (28) получим

$$\Phi = \frac{k}{\sqrt{2}} \sqrt{\left(\frac{\partial H}{\partial x}\right)^2 + \left(\frac{\partial H}{\partial y}\right)^2} + \sqrt{\left[\left(\frac{\partial H}{\partial x}\right)^2 + \left(\frac{\partial H}{\partial y}\right)^2\right]^2 - \frac{3}{k^2} (Ax + By + C)^2} \quad (31)$$

Подставляя выражения Φ в (27), получим одно уравнение относительно H .

Иногда удобнее задачу формулировать в цилиндрических координатах. Поступая аналогичным образом, для скоростей перемещения получим

$$u = -\frac{1}{4} (A \cos \theta - B \sin \theta) (r^2 + 2z^2) - \frac{C}{4} r + (\alpha \cos \theta + \beta \sin \theta) z + \alpha_0 \cos \theta + \beta_0 \sin \theta \quad (32)$$

$$v = -\frac{1}{4} (A \sin \theta + B \cos \theta) (r^2 - 2z^2) + Drz + Gr - (\alpha \cos \theta - \beta \sin \theta) z - \alpha_0 \sin \theta + \beta_0 \cos \theta - \gamma_0 \quad (33)$$

$$w = w_0(r, \theta) + Arz \cos \theta + Brz \sin \theta + Cz \quad (34)$$

где A, B, \dots — произвольные постоянные, а w_0 определяется соотношениями

$$\frac{\partial w_0}{\partial r} = 2\gamma_{r\theta} - \alpha \cos \theta - \beta \sin \theta \quad (35)$$

$$\frac{\partial w_0}{\partial \theta} = 2r\gamma_{\theta z} - Dr^2 + (\alpha \sin \theta - \beta \cos \theta) r$$

Отсюда следует условие совместности деформаций

$$\frac{\partial \gamma_{\theta z}}{\partial \theta} - \frac{\partial (r\gamma_{\theta z})}{\partial r} - Dr = 0 \quad (36)$$

Легко заметить, что компоненты напряжения $\sigma_r = \sigma_\theta = \tau_{\theta\theta} = 0$ и

$$\sigma_x = \frac{3}{2} \frac{\xi_x}{\Phi}, \quad \tau_{rz} = \frac{1}{r} \frac{\partial H}{\partial \theta}, \quad \tau_{\theta z} = -\frac{\partial H}{\partial r} \quad (37)$$

где H и Φ — пока неизвестные функции r и θ ,

$$\xi_x = Ar \cos \theta + Br \sin \theta + C \quad (38)$$

тождественно удовлетворяют дифференциальным уравнениям равновесия. Для скоростей деформации имеем

$$\gamma_{r\theta} = 0, \quad \dot{\xi}_x = -\frac{1}{2} \dot{\xi}_x, \quad \gamma_{rz} = \dot{\Phi}^{-1} \tau_{rz}, \quad \gamma_{\theta z} = \dot{\Phi}^{-1} \tau_{\theta z} \quad (39)$$

Для степенной зависимости между τ_{rz} и $\dot{\xi}_x$ приходим к системе дифференциальных уравнений

$$\begin{aligned} \frac{\partial}{\partial r} \left[r\Phi \frac{\partial H}{\partial r} \right] + \frac{\partial}{\partial \theta} \left[\frac{\Phi}{r} \frac{\partial H}{\partial \theta} \right] + Dr = 0 \\ \Phi^{m-1} - k^{m-1} \left[\left(\frac{\partial H}{\partial r} \right)^2 + \frac{1}{r^2} \left(\frac{\partial H}{\partial \theta} \right)^2 \right] \Phi^2 - \\ - \frac{3}{4} k^{m-1} (Ar \cos \theta + Br \sin \theta + C)^2 = 0 \end{aligned} \quad (40)$$

Для функции H , а также для неизвестных постоянных A , B , C имеем статические условия, аналогичные (29)–(30).

Рассмотрим случай тонкостенной цилиндрической трубы. Полагая $\nu_1 \approx 0$ и интегрируя, из (36) находим

$$\nu_2 = \frac{Dr}{2} + \frac{E}{r} \quad (41)$$

Учитывая соотношения (37)–(39), из второго уравнения (40) получим

$$\Phi = k^{\frac{1}{m}} \left[\nu_{\theta z}^2 - \frac{3}{4} \nu_z^2 \right]^{\frac{m-1}{2m}} \quad (42)$$

Принимая для цилиндрической трубы $F = B = 0$, находим

$$\begin{aligned} \nu_3 = \frac{3(Ar \cos \theta + C)}{(2k)^{\frac{1}{m}} [D^2 r^2 - 3(Ar \cos \theta + C)^2]^{\frac{m-1}{2m}}} \\ \nu_4 = \frac{Dr}{(2k)^{\frac{1}{m}} [D^2 r^2 - 3(Ar \cos \theta + C)^2]^{\frac{m-1}{2m}}} \end{aligned} \quad (43)$$

Полагая в случае цилиндрической трубы с продольным вырезом $\nu_{\theta z} = 0$ при $r = r_0 = \frac{r_1 - r_2}{2}$, будем иметь $E = -\frac{Dr_0^2}{2}$. Тогда компоненты напряжения будут

$$\begin{aligned} \nu_3 = \frac{3(Ar \cos \theta + Br \sin \theta + C)}{(2k)^{\frac{1}{m}} \left[D^2 \left(r - \frac{r_0^2}{r} \right)^2 - 3(Ar \cos \theta + Br \sin \theta + C)^2 \right]^{\frac{m-1}{2m}}} \\ \nu_4 = \frac{D \left(r - \frac{r_0^2}{r} \right)}{(2k)^{\frac{1}{m}} \left[D^2 \left(r - \frac{r_0^2}{r} \right)^2 - 3(Ar \cos \theta + Br \sin \theta + C)^2 \right]^{\frac{m-1}{2m}}} \end{aligned}$$

Неизвестные постоянные, входящие в полученные выражения, определяются из статических условий. Определяя ω_0 из соотношения (35) и приравнивая полученные выражения между собой, получим, что $\omega_0 = -(\alpha \cos \theta + \beta \sin \theta) r$ для замкнутой трубы и $\omega_0 = -Dr - (\alpha \cos \theta + \beta \sin \theta) r$ для открытой трубы.

Институт математики и механики
АН Армянской ССР

Поступила 6 VII 1967

Մ. Ա. ԶԱԴՈՅԱՆ

ՊՐԻԶՄԱՏԻԿ ՉՈՂԻ ԿԱՅՈՒՆԱՑՎԱԾ ՍՈՂՔԻ ԽՆԴԻՐԸ ՀԱՄԱՆՏԵՆՆԵՎ ՉԳՄԱՆ,
ՈՂՈՐԿԱՆ ԵՎ ԾՌՈՐԱՆ ԳԵՊԷՆՈՒՄ

Ա Վ Փ Ո Վ Ո Ւ Մ

Առասնադրվում է՝ սրիզմատիկ ձողի կայունացված սողքի բնականորեն խնդիրը, համատեղ ձգման, ոլորման և ծռման դեպքում: Ատտիճանային ամրապնդման դեպքում խնդիրը բերվում է երկու ոչ-լիներար մասնական ամանյալներով դիֆերենցիալ հավասարումներով սխառեմի: Երկու մասնավոր դեպքերի համար առ սխառեմը վերածվում է Ամպեր-Մոնժի հավասարմանը:

Բարակապաղ զրանային խողովակի և աստիճանային ամրապնդման օրենքի դեպքում ստացված են նարմալ և շրշափող լարումների համար վերջնական բանաձևեր:

M. A. ZADOYAN

A GENERAL PROBLEM OF CREEP OF THE PRIZMATIC BAR IN THE CASE OF COMBINED TENSION, BENDING AND TORSION

S u m m a r y

The general problem of stationary creep of a prismatic bar in the case of combined tension forces, bending and torsion moments are considered.

The problem is reduced to the solution of two non-linear differential equations of the second order. For two cases the system is reduced to one equation of the Amper-Monz type.

For the thin walled cylindrical tube, the formulas of normal and shear stresses are obtained.

Л И Т Е Р А Т У Р А

1. Качанов Л. М. Теория ползучести. Физматгиз, М., 1960.
2. Хилл Р. Математическая теория пластичности. ИЛ, М., 1956.
3. Задоян М. А. Об одном частном решении уравнений теории идеальной пластичности. Докл. АН СССР, т. 156, № 1, 1964.

Н. Г. АХНАЗАРЯН, Э. М. МАРКАРЯН, С. Р. МЕСЧЯН

О ПРИМЕНИМОСТИ ТЕОРИЙ ПОЛЗУЧЕСТИ ДЛЯ ОПИСАНИЯ ДЕФОРМАЦИИ СКЕЛЕТА ГЛИНИСТЫХ ГРУНТОВ ПРИ ОДНОМЕРНОМ УПЛОТНЕНИИ

Работ, посвященных экспериментальному исследованию применимости теорий ползучести для описания процесса деформации немерзлых грунтов во времени, очень мало. Имеется только несколько работ одного из авторов этой статьи [1], посвященных применимости наследственной теории старения (упруго-ползучего тела) Г. Н. Маслона—Н. Х. Арутюняна [2] для описания процесса ползучести скелета при уплотнении и сдвиге глинистых грунтов нарушенной структуры.

Надо отметить, что работ, посвященных исследованию поведения грунтов под постоянными нагрузками, описанию кривой ползучести, а также определению зависимости напряжения-деформации ползучести, имеется довольно много [3, 4, 5]. Однако, ни в одной из них не сделана попытка проверки теории в целом, путем сопоставления экспериментальных кривых ползучести при переменном во времени напряжении с кривой, построенной по физическим уравнениям рассматриваемой теории, на основании данных испытания образцов-близнецов на ползучесть при постоянных напряжениях.

Исследования вида кривой ползучести при постоянной нагрузке и кривой напряжения-деформация ползучести необходимы, но совершенно не достаточны для проверки теории ползучести.

В этой статье приводятся результаты проверки пригодности теорий старения и упрочнения для описания *ползучести скелета* глинистых грунтов при одномерном уплотнении. Для оценки этих теорий приводятся также результаты описания процесса ползучести по наследственной теории старения Г. Н. Маслона—Н. Х. Арутюняна. Как и ранее [1], принимается во внимание, что при испытаниях тонких предварительно уплотненных образцов влиянием фактора фильтрации на уплотнение водонасыщенных глинистых грунтов можно пренебречь и результаты испытания можно отнести только к ползучести скелета.

С целью проверки пригодности указанных теорий для описания процесса ползучести скелета глинистых грунтов в условиях одномерного уплотнения испытана глина неокома (Саратовская ГЭС) нарушенной структуры при двух ее начальных состояниях плотности-влажности и ленточная глина Синди (Эстония) ненарушенной структуры при двух различных направлениях действия сжимающих напряжений—вдоль и поперек слоистости.

1. Для получения двух различных начальных состояний плотности-влажности образцы-близнецы, изготовленные из пасты глины неокома, в течение 82 дней были подвергнуты предварительному уплотнению нагрузками $\varepsilon_{II} = 5.0$ и 12.5 кг/см^2 . Образцы ($d = 70 \text{ мм}$, $h = 20 \text{ мм}$) изготовлялись из пасты, обладающей влажностью, близкой к влажности грунта при пределе текучести. Предварительно уплотняющая нагрузка прикладывалась ступенями по $\varepsilon_{ст} = 0.25$ и 0.5 кг/см^2 с интервалом приложения 7–14 дней.

Показатели основных физических характеристик образцов-близнецов глины неокома приведены в табл. 1. Приведенные в этой таблице значения коэффициентов пористости (μ) получены обратным пересчетом. Влажность после предварительного уплотнения определена по величине ε , исходя из условия полной водонасыщенности грунта ($G = 1$).

Таблица 1

Наименование грунта	$\varepsilon_{II} \text{ кг/см}^2$	Удельн. вес, г/см^3	Влажность пасты, %	Влажность (средняя) после предвар. уплотн., %	Кoeff. пористости (сред.) после пред. уплот.	Пределы пластичности		
						Предел текучести	Предел пластичности	Число пластичности
Глина неокома	5.0	2.75	65.4	40.7	1.12	67.4	34.8	33.1
	12.5		65.4	37.1	1.02			

Опыты проводились в компрессионных приборах модели М-2 и М-4 С. Р. Месчяна [1] при двух- и трехкратном повторении. Деформации измерялись индикаторами часового типа с ценой деления 0.002 мм .

Общий вид батареи пружинных сжимающих приспособлений с приборами М-4 показан на фиг. 1.

После предварительного уплотнения образцы-близнецы первой серии ($\varepsilon_{II} = 5 \text{ кг/см}^2$) были испытаны на ползучесть в течение 114 дней при напряжениях $\varepsilon = 0.5$; 1.0 и 4.0 кг/см^2 . Кроме того, пара образцов-близнецов была испытана при возрастающей во времени ступенями нагрузке ($\varepsilon_{ст} = 0.5 \text{ кг/см}^2$). Образцы-близнецы второй серии были испытаны на ползучесть при $\varepsilon = 2$ и 10 кг/см^2 , а ступенчатое нагружение осуществлялось по $\varepsilon_{ст} = 2 \text{ кг/см}^2$. Ступени нагрузок прикладывались к образцу грунта с интервалом 8 и 7 дней соответственно.

Экспериментальные кривые ползучести двух серий образцов-близнецов показаны сплошными линиями на правых половинах фиг. 2 и 3. На левых половинах этих же графиков приведены кривые напряжение-деформация ползучести, построенные для трех различных фиксированных моментов времени.

Экспериментальные кривые ползучести при постоянных напряжениях описаны степенной зависимостью вида

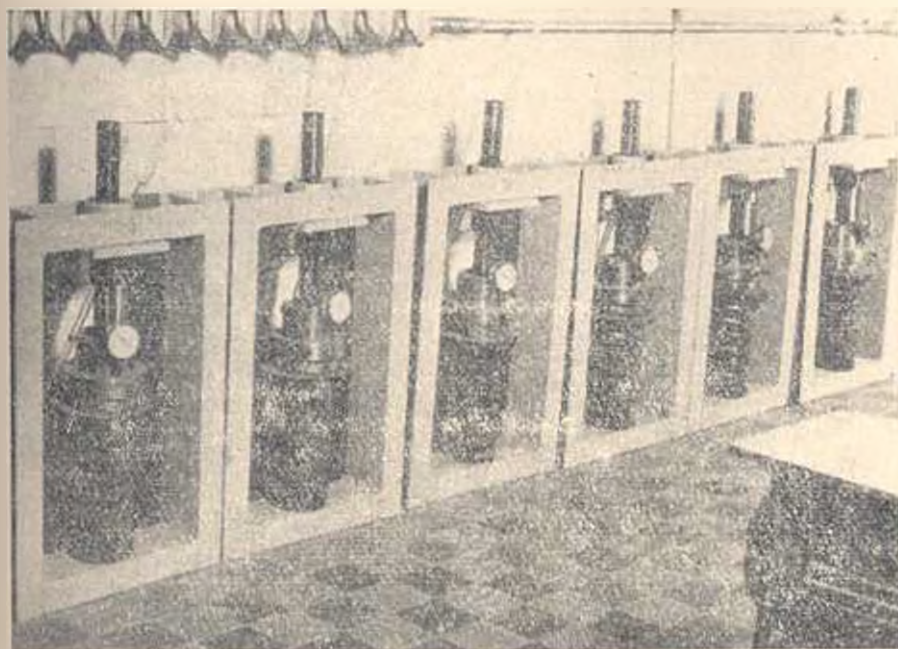
$$I_{\text{полз}}(t) = At^n \quad (1)$$

Как видно из графиков фиг. 4 и 5, степень точности описания экспериментальных данных принятой зависимости достаточно высока.

Для установления связи между напряжениями и деформациями ползучести также использована степенная зависимость вида

$$I_{\text{полз}} = B\varepsilon^n \quad (2)$$

где B и n — определяемые из опыта параметры.



Фиг. 1.

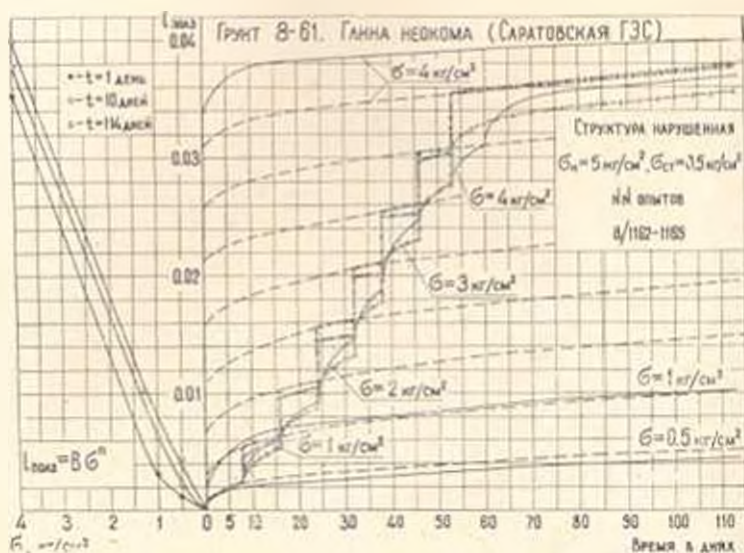
Описание семейств экспериментальных кривых ползучести, соответствующих различным значениям постоянных напряжений, на фиг. 2 и 3 показаны штриховыми линиями. На этих графиках штриховыми линиями показаны также полученные по расчету кривые ползучести, соответствующие промежуточным значениям ($\varepsilon = 1.5; 2.0; 2.5; 3.0$ и 3.5 при $\sigma_0 = 5 \text{ кг/см}^2$ и $\varepsilon = 1.0; 4.0; 6.0$ и 8.0 кг/см^2 при $\sigma_0 = 12.5 \text{ кг/см}^2$) величины постоянного напряжения.

Известно, что при степенной зависимости между напряжениями и деформациями вида (2) в теориях старения и упрочнения связи между напряжениями, деформацией ползучести и временем записываются соответственно в следующем виде:

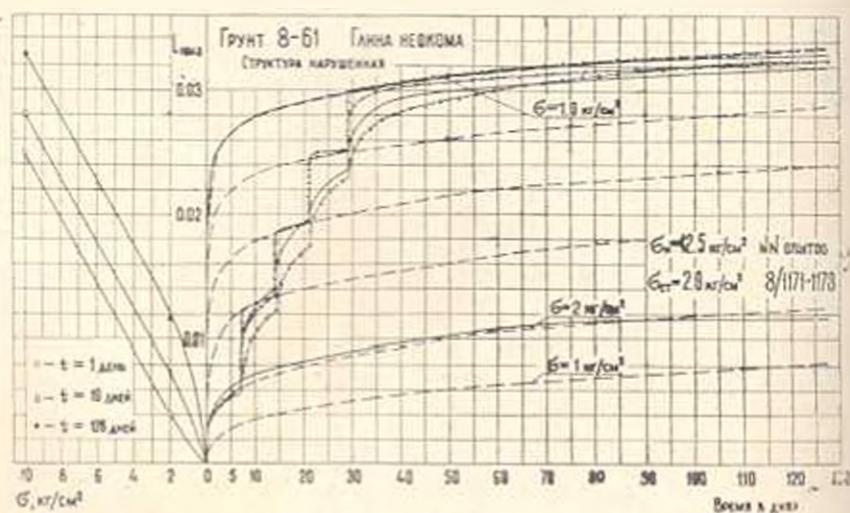
$$I_{\text{полз}}(t) = C(t) F(\varepsilon) = C(t) \varepsilon^n \quad (3)$$

$$\dot{I}_{\text{полз}} \dot{I}_{\text{полз}} = \dot{\varepsilon}^2 \quad (4)$$

где $C(t)$ — ползучесть материала при единичной нагрузке (по герминологии Н. Х. Арутюняна — мера ползучести), $F(\sigma)$ — функция напряжений, учитывающая нелинейную зависимость между напряжениями и деформациями ползучести (при линейной ползучести $F(\sigma) = \sigma$), $\dot{\epsilon}_{полз}$ — скорость ползучести, α , μ и B — параметры.



Фиг. 2.

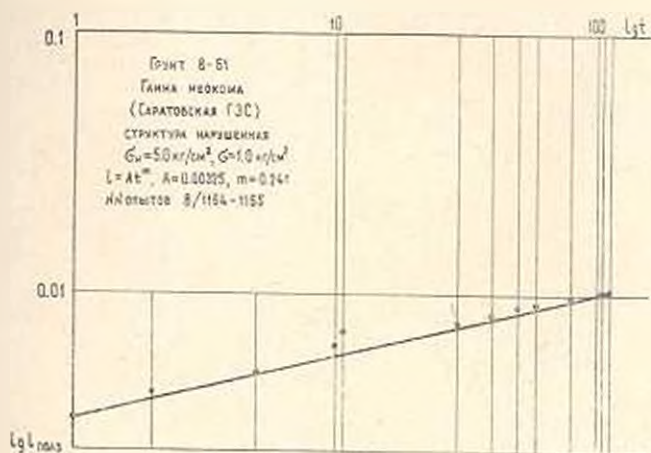


Фиг. 3.

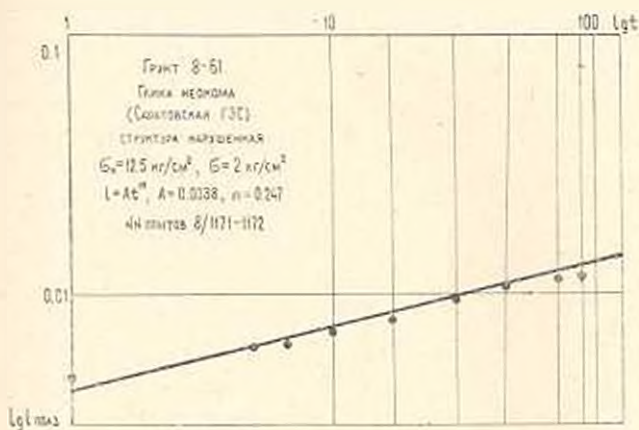
В теории упруго-ползучего тела, при отсутствии старения, зависимость $\dot{\epsilon}_{полз}(t) = f(\sigma, t)$ записывается в следующем виде:

$$t_{\text{полз}}(t) = - \int_{z_1}^t f(z) \frac{\partial C(t-z)}{\partial z} dz \quad (5)$$

где t — время, для которого определяется деформация, z — текущая координата времени, а остальные обозначения имеют прежние значения.



Фиг. 4.



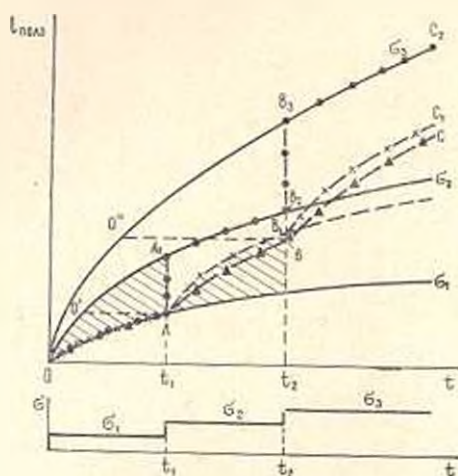
Фиг. 5.

Не останавливаясь на формулировке рассматриваемых теорий и изложении их положительных и отрицательных сторон, подробно изложенных в литературе [6], отметим, что при ступенчатом нагружении ($\sigma_1 < \sigma_2 < \sigma_3$) и пределах ступени нагрузки σ_1 их предсказания об изменении деформации во времени совпадают (отрезок кривой OA, фиг. 6).

При увеличении напряжения до σ_2 теория старения предсказывает скачкообразное изменение деформации в момент времени t , и дальнейшее увеличение ползучести по кривой $A_2 B_2$. В теории уп-

рочнения принимается, что в процессе ползучести, вследствие накопления деформации, имеет место упрочнение материала (изменение состояния) и поэтому при увеличении напряжения до σ_2 деформация ползучести будет обусловлена величиной σ_2 и деформацией, накопленной материалом под σ_1 до момента времени t . Тогда для построения кривой для σ_2 кривую ползучести ϵ_2 надо сдвинуть вправо так, чтобы точка O' совпала бы с точкой A (фиг. 6).

Для построения кривой ползучести для σ_2 по наследственной теории ползучести (теории упруго-ползучего тела) надо, начиная с момента t_1 , на кривой ϵ_2 отложить вверх разность ординат кривых ϵ_1 и ϵ_1' , то есть надо заштрихованную фигуру наложить на кривую ϵ_1 , как это показано на фиг. 6.



Фиг. 6.

Результаты описания процесса ползучести глины неокома при ступенчатом изменении нагрузок во времени приведены на правых половинах графиков фиг. 2 и 3.

Сопоставление экспериментальной кривой ползучести с кривыми, построенными по различным теориям ползучести, показывает, что кривые теорий старения и упруго-ползучего тела, как правило, располагаются выше экспериментальной кривой ползучести, а кривая теории упрочнения — ниже экспериментальной кривой ползучести, причем кривая теории упруго-ползучего тела располагается несколько ниже кривой теории старения, а кривая теории упрочнения гораздо лучше отражает характер изменения деформации ползучести.

Расположение кривой теории упруго-ползучего тела выше экспериментальной обусловлено уплотнением и упрочнением грунта в процессе деформации и некоторым нарушением закона наследственности деформации ползучести. В то же время полное игнорирование наследственностью деформации ползучести теорией упрочнения приводит к занижению деформации ползучести.

Очевидно, к наилучшему описанию процесса ползучести грунтов при уплотнении привела бы комбинация теорий уруго-ползучего тела и упрочнения. Однако, поскольку результаты описания эксперимента рассмотренными теориями можно считать удовлетворительными, не имеет смысла усложнять теорию.

2. Испытание ленточной глины (табл. 2) ненарушенной структуры Синди (Эстония), ввиду невозможности вырезки большого количества образцов-близнецов, выполнено по приближенной методике одного из авторов этой статьи [1].

Таблица 2

Наименование	Удельный вес, г/см ³	Объемный вес, г/см ³	Естественная влажность, %
Ленточная глина Синди (Эстония)	2.69	1.75	42.0

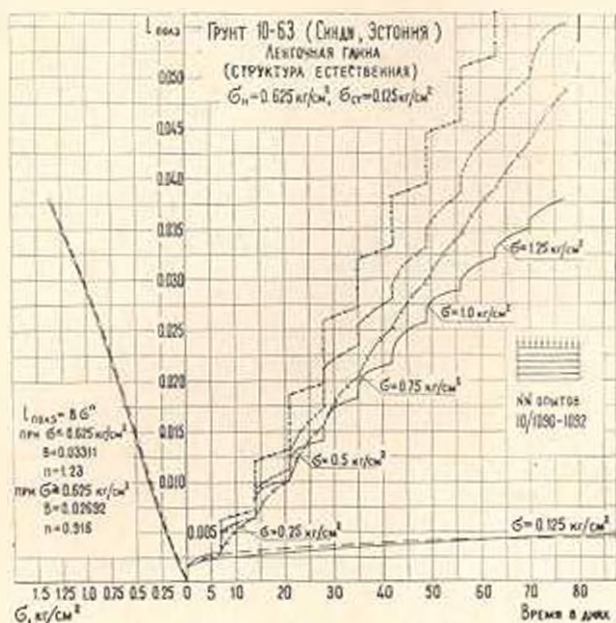
Принимая условие подобия кривых ползучести и отсутствия старения грунта, испытываются на ползучесть два или две пары образцов-близнецов. Один из образцов испытывается на ползучесть при постоянной нагрузке для определения параметров ползучести грунта, а второй — при возрастающей нагрузке ступенями с интервалом их приложения 7–14 дней.

На правых половинах фиг. 7 и 8 сплошными линиями показаны экспериментальные кривые ползучести, полученные при постоянном напряжении $\sigma = 0.125 \text{ кг/см}^2$ и при его возрастании ступенями по $\sigma_{ci} = 0.125 \text{ кг/см}^2$. На левых половинах этих же графиков сплошной линией показана кривая зависимости $l_{\text{полз}} = f(\sigma)$, построенная по экспериментальной кривой ползучести переменных напряжений. Там же штриховыми линиями показано описание кривых ползучести $l_{\text{полз}} = f(\sigma)$ и $l_{\text{полз}} = F(t)$. В целях осуществления описания процесса ползучести в наиболее невыгодных условиях методики эксперимента интервал приложения ступеней нагрузок принят равным 7 дням.

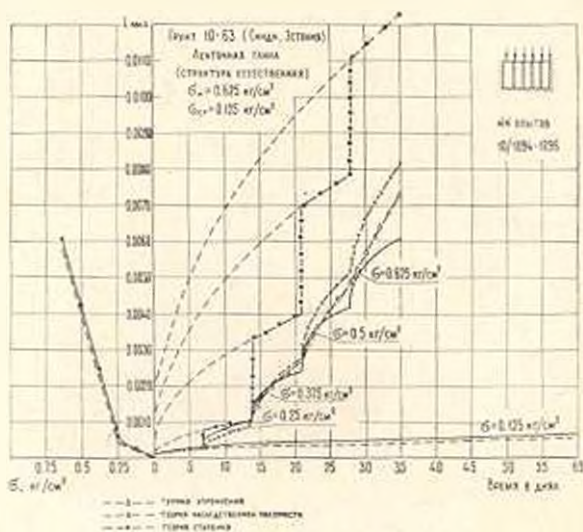
Кривые ползучести описаны выражением (1). Графики фиг. 9 и 10 показывают хорошую сходимость экспериментальных данных с принятой зависимостью. Для установления зависимости $l_{\text{полз}} = f(\sigma)$ использовано выражение (2). Параметры B и n зависимости (2) определены по графику логарифм деформации ползучести — логарифм напряжения (фиг. 11).

Интересно обратить внимание на тот факт, что при испытании ленточной глины Синди поперек расположения слоя показатель степени n в зависимости $l_{\text{полз}} = f(\sigma)$ больше единицы ($n = 1, 2, 3$).

Это объясняется начальным разупрочнением грунта, вследствие постепенного разрушения структурных связей. Вопрос этот подробно рассмотрен одним из авторов статьи в монографии [1].



Фиг. 7.



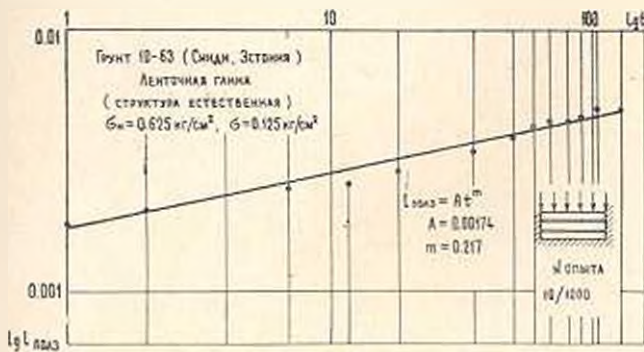
Фиг. 8.

Результаты описания экспериментальной кривой ползучести при переменном во времени напряжении по теориям старения, упрочнения и упруго-вязкого тела приведены на правых частях графиков фиг. 7 и 8. Описание выполнено графическим методом (фиг. 6). Семейства кривых ползучести при различных постоянных напряжениях (фиг. 8) необходимые для выполнения графического построения, определены по выражению (3).

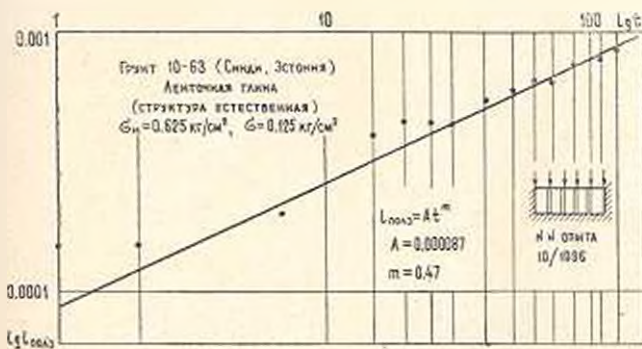
Входящая в выражение (3) мера ползучести $C(t)$ определяется по соотношению

$$C(t) = \frac{l_{полз}(t)}{F(\sigma)} \quad (6)$$

где $l_{полз}(t)$ — аналитическое выражение кривой ползучести при $\sigma = 0.125 \text{ кг/см}^2$, $F(\sigma)$ — функция напряжения вида $F(\sigma) = \sigma^n$ при $\sigma = 0.125 \text{ кг/см}^2$.



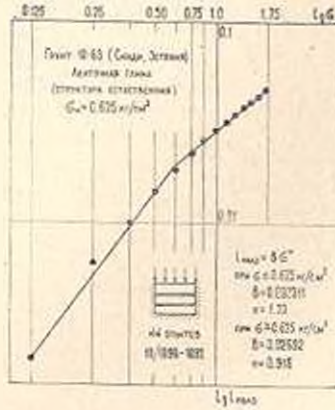
Фиг. 9.



Фиг. 10.

Рассмотрение графиков фиг. 7 и 8 показывает, что, как и в приведенных выше примерах, кривая теории упруго-ползучего тела располагается между кривыми теорий старения и упрочнения. В наиболее благоприятных условиях эксперимента расхождение между опытной кривой и кривыми теорий упрочнения и упруго-ползучего тела при $\sigma = 1, 3, 75 \text{ кг/см}^2$ доходит до 20–30% соответственно. Это, во-первых, говорит о том, что предложенная методика пригодна для определения параметров ползучести, а во-вторых, при испытании грунтов не нарушенной структуры для получения хороших результатов описания процесса ползучести интервал приложения ступеней нагрузок надо принять не менее 14 дней.

Опыты также показывают, что ленточная глина Синди обладает явной естественной анизотропией. Деформация поперек расположения слоев примерно в пять раз больше, чем вдоль расположения слоев.



Фиг. 11.

Очевидно, что при столь большой разнице деформаций вдоль и поперек расположения слоев учет анизотропии грунта является обязательным.

Институт математики и механики
АН Армянской ССР

Поступила 16 VI 1967

Ն. Կ. ԱՆՆԱԿԱՐՅԱՆ, Է. Մ. ՄԱՐԿԱՐՅԱՆ, Ս. Ր. ՄԵՇԿՅԱՆ

ՍՈՂՔԻ ՏԵՍՈՒՓՇՈՒՆՆԵՐԻ ԸՆԳՈՒՆԵՐՈՒԹՅԱՆ ԱՏՈՒԳՈՒՄԷ ԿԱՎԱՅԻՆ
ԲՆԱՀՈՂԵՐԻ ԿՄԱՆՔԻ ԳԵՆՈՐԿԱՑԻԱՆՆԵՐԻ ԿԱՐԱԿՐՈՒԹՅԱՆ
ՀԱՄԱՐ՝ ՄԻԱԶԱՓ ԽՏԱՑՄԱՆ ԳԵՊՔՈՒՄ

Ա մ փ ո փ ո լ մ

Հողվածուժ բերված են խախտված և չխախտված կազմվածք ունեցող կա-
փային բնահողերի կմախքի ժամանակի բնթացքում դեֆորմացիաների գրան-
ցումը՝ միաշափ սեղման դեպքում, ժառանգականության, ձերացման և ամրա-
պնդման տեսությունների միջոցով:

Պարզվում է, որ ժառանգականության և ամրապնդման տեսությունները
բավարար չափով են գրանցում փորձնական կորերը: Մերացման տեսությամբ
ստացված սողի կորերը ավելի բարձր են դասավորվում, բան մյուս տեսու-
թյուններով ստացված կորերը:

N. G. AKHNAZARIAN, E. M. MARKARIAN, S. R. MESCHIAN

THE APPLICATION OF CREEP THEORY FOR THE DESCRIPTION OF DEFORMATION OF THE SKELETON OF CLAY SOILS DURING ONE-DIMENSIONAL HARDENING

S u m m a r y

The results of the use of the theory of hereditary creep, ageing and hardening have been elucidated in the paper in order to describe creep of the skeleton of clay soil with disturbed and undisturbed structures.

It has been established that in the theories of heredity and hardening the curves are plotted satisfactorily.

The curves of creep obtained through the theory of ageing are above the ones received by means of other theories.

Л И Т Е Р А Т У Р А

1. Месчян С. Р. Ползучесть глинистых грунтов. Изд. АН АрмССР, Ереван, 1967.
2. Арутюнян Н. Х. Некоторые вопросы теории ползучести. Гостехиздат, М.—Л., 1952.
3. Вялон С. С. и Скибицкий А. М. Реологические процессы в мерзлых грунтах и плотных глинах. Материалы IV Межд. конгресса по мех. грунтов и фундаментостроению. Изд. АН СССР, М., 1957.
4. Гольдштейн М. Н., Бабицкая С. С., Мизюмский В. А. Методика испытания грунтов на ползучесть и длительную прочность. «Вопросы геотехники», № 5, Днепропетровск, 1962.
5. Гольдин А. А. Экспериментальные исследования ползучести лангарского суглинка. Изв. АН АрмССР, Механика, т. 19, № 4, 1966.
6. Работнов Ю. Н. Ползучесть элементов конструкций. Изд. «Наука», М., 1966.
7. Нахестников В. С. и Хвостункова А. А. Ползучесть дюралюминия при постоянных и переменных нагрузках. ПМТФ, № 4, 1960.

Т. Т. АРАКЕЛЯН

ДОЛГОВЕЧНОСТЬ И ПОЛЗУЧЕСТЬ ВОЛОКНА ЕРАНИТ

Рассматривается долговечность и ползучесть нового синтетического волокна еранит (пинол-М), полученного простой технологией в Ереванской лаборатории полимеризационных процессов под руководством А. Е. Акопяна [1].

Для волокна еранит обычным способом были получены следующие средние значения основных физико-механических характеристик.

Таблица 1

№№ п.п.	Вид характеристики	Размерность	Численное значение
1	Метрический номер	м/г	3704
2	Толщина в тонсах	г/км	0.27
3	Разрывная нагрузка	г	8.10
4	Разрывная длина	км	30.5
5	Относительное полное разрывное удлинение	%	27.0
6	Начальный модуль нормальной упругости	кг/см ²	15000
7	Абсолютная работа разрыва	гсм	4.76
8	Удельная работа разрыва	кг см/г	359
9	Удельный вес [1]	г/см ³	1.28
10	Усадка в кипяченой воде [1]	%	3.40

1. *О структуре волокна.* Волокно еранит представляет одномерно-упорядоченную структурную систему, устойчивую при обычных температурах. Центральные слабо прозрачные участки поперечных срезов волокна (фиг. 1, увеличение в 480 раз) заняты малоупорядоченными образованиями молекул-глобул. Периферия занята поликристаллическими агрегатами молекул вытянутой конформации (ориентационная рубашка) со сложной надмолекулярной структурой.

Механические свойства волокна проявляются на уровне этой надмолекулярной организации [2].

Известно, что микроскопическими исследованиями установлено наличие в волокне истинно- и псевдокристаллических и аморфных областей. Рентгенографическим спектрографом получены минимальные и максимальные величины кристалличности 0.35 и 0.68 [1].

Площади поперечных срезов волокна по величине до 6 раз отличаются друг от друга (фиг. 1). Различие поперечных сечений по форме и структуре, нецилиндричность и общая неоднородность волокна

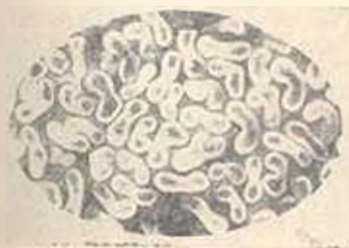
увеличивают разброс результатов испытаний. Для определения площади поперечного сечения волокна используется взвешивание. Несмотря на низкую точность этого способа, применив методы математической статистики к обработке результатов, можно прийти к правильным обобщениям.

2. *Зависимость напряжения от деформации.* Эта зависимость для волокна обусловлена многими факторами, в том числе режимом нагружения и состоянием среды, окружающей образец. При одноосном растяжении фиксировались скорость нарастания деформации и термовлажные условия, близкие к стандартным.

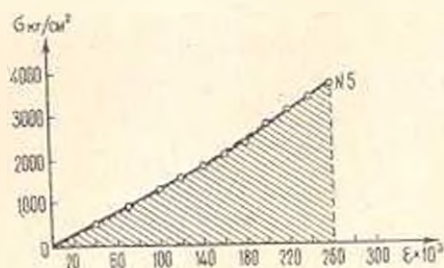
Эксперименты проводились на испытательной машине Ф-01-С (ГДР) с инерционным силоизмерителем. Гидравлический привод машины обеспечивает равномерное нарастание деформации. Время, потребное на разрушение нитки, ограничивалось в среднем 20 секундами.

Волокно деформировалось равномерно, без образования шейки, и поверхность разрыва была нормальна к направлению растяжения.

На фиг. 2 приводится кривая растяжения $\sigma(\varepsilon)$ некоторого образца № 5, обладающего типичными средними характеристиками испытания.



Фиг. 1.



Фиг. 2.

Эта кривая с высокой точностью (пунктирная теоретическая кривая почти сливается с экспериментальной) аппроксимируется нелинейной функцией

$$\sigma(\varepsilon) = E\varepsilon + E_1\varepsilon^2 + E_2\varepsilon^3 \quad \sigma(\varepsilon) < \sigma_k \quad (2.1)$$

где ε — деформация волокна, E , E_1 и E_2 — неизвестные параметры, σ_k — предел прочности волокна.

Если обозначить площадь поперечного сечения через F , разрывную деформацию через ε_k и рабочую длину образца через l , тогда на основе (2.1) абсолютная работа разрыва D для всей растягиваемой длины волокна будет

$$D = Fl \int_0^{\varepsilon_k} \sigma(\varepsilon) d\varepsilon = Fl \left(\frac{1}{2} E\varepsilon_k^2 + \frac{1}{3} E_1\varepsilon_k^3 + \frac{1}{4} E_2\varepsilon_k^4 \right)$$

По экспериментальной кривой $\varepsilon(\tau)$ (фиг. 2) и по (2.1) установлены значения параметров E , E_1 и E_2 , вычислены работа разрыва D , удельная работа разрыва D_1 и коэффициент полноты диаграммы растяжения γ_1 [3]

$$D = 4.76 \text{ гсм}, \quad D_1 = \frac{D}{Fl\gamma} = 359 \text{ кгсм г}, \quad \gamma_0 = \frac{D}{Fl\gamma_0(\gamma_1)} = 0.45$$

Здесь γ — удельный вес волокна еранит.

Коэффициент γ_1 показывает деформационную способность волокна. Для различных волокон γ_1 изменяется в интервале $0.35 \leq \gamma_1 < 0.65$ [4].

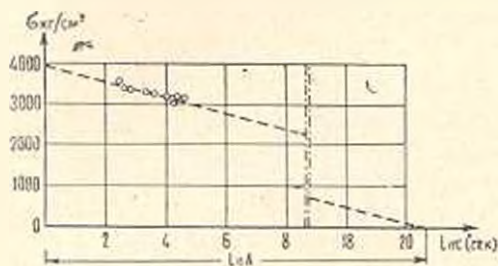
3. *Долговечность волокна.* Долговечность характеризуется временем, протекающим от момента приложения нагрузки до разрушения образца. Количественная зависимость долговечности в виде

$$\tau = A \exp(-\alpha \varepsilon) \quad (3.1)$$

была дана в работах В. Буссе [5] и Г. Гуренича [6], где τ — долговечность, ε — разрушающее напряжение растяжения, A и α — неизвестные параметры. Более тщательные эксперименты С. Журкова и других [7–9], проведенные для многочисленных материалов, подтвердили справедливость соотношения (3.1).

Долговечность волокна еранит определялась при режиме медленного непрерывного нагружения (растяжения) до разрыва образца, при постоянстве скорости деформации ($\dot{\varepsilon} = \text{const}$) и термовлажных условий. Скорость деформации на испытательной машине Ф-01-С менялась 9 раз. Обычно для волокон графики долговечности строятся пятью или даже тремя точками с меньшей вариацией времени разрыва [10, 11].

Определение параметров A и α сводится к построению графика прямой линии в полулогарифмических координатах. График долговечности волокна еранит построен 10 точками с учетом всей совокупности экспериментальных данных (более 40 испытаний). Из фиг. 3 непо-



Фиг. 3.

средственно следует $A = \exp 20.7 = 5.2 \cdot 10^8 \text{ сек.}$ Координаты двух точек графика (фиг. 3) дают $\alpha = \frac{1}{\varepsilon_1 - \varepsilon_2} \ln \frac{\tau_2}{\tau_1} = 0.0049 \frac{\text{см}^2}{\text{кг}}$. Следовательно, для долговечности волокна еранит будем иметь

$$\tau = 5 \cdot 10^8 \exp(-0.005 \varepsilon) \quad (3.2)$$

Полученные значения параметров волокна еранит ($A = 5 \cdot 10^8$ сек, $\alpha = 0.005 \frac{\text{см}^2}{\text{кг}}$) находятся между значениями соответствующих параметров капрона ($A = 2 \cdot 10^{11}$ сек, $\alpha = 0.0046 \frac{\text{см}^2}{\text{кг}}$) и пластифицированного поливинилхлорида ($A = 6.3 \cdot 10^7$ сек, $\alpha = 0.009 \frac{\text{см}^2}{\text{кг}}$) [12].

Соотношение (3.2) позволяет прогнозировать долговечность волокна еранит.

4. *Подготовка образцов и экспериментальная установка.* После репрезентативной выборки образцы волокна взвешивались и к их концам прикреплялись бумажные прямоугольники для приложения нагрузки. На волокно на расстоянии 100 мм друг от друга наносились 2 капли эмульсии для фиксации рабочей длины.

Испытания проводились на специально сконструированной автором 32-местной установке. Она состоит из рельсового пути, вдоль которого передвигается тележка с катетометром КМ-6 для дистанционного оптического измерения перемещения волокна.

Перемещение вычисляется как разница двух отсчетов катетометра по границам рабочей длины и начальной рабочей длины.

Нагруженный образец волокна помещен в герметической камере со стеклянной стенкой, в верхней части которой устроено вертикальное осевое отверстие, через которое под давлением можно вводить агрессивные газы или воздух с различной влажностью и температурой.

5. *Ползучесть волокна.* Деформация волокна еранит как полимерного материала состоит из упруго-мгновенной, высокоэластической и пластической частей. Для отделения упруго-мгновенной деформации от остальных, после 60-минутного пребывания волокна в растянутом состоянии оно разгружается. При этом измеряются совершенные ползком обратные деформации, упруго-мгновенная и упругое последствие [13].

Напряжение волокна ограничено значением $\varepsilon < 0.5 \varepsilon_k$, в силу чего в начальные моменты времени практически появляются только упруго-мгновенные и высокоэластические деформации.

Обычно кривые ползучести полимеров рассматриваются с реологической позиции на основе уравнения Максвелла и принципа наложения Больцмана. Однако материал волокна еранит в процессе ползучести находится со средой в химически равновесном состоянии и физического старения практически не происходит. В силу этого, для описания явления ползучести волокна еранит используется модифицированное выражение линейной ползучести Н. Х. Арутюняна [14] для материалов зрелого возраста следующего вида:

$$\varepsilon(t) = c(t, T) = B\varepsilon_k [1 - \exp\{-\varepsilon_k(t - T)\}] \quad (5.1)$$

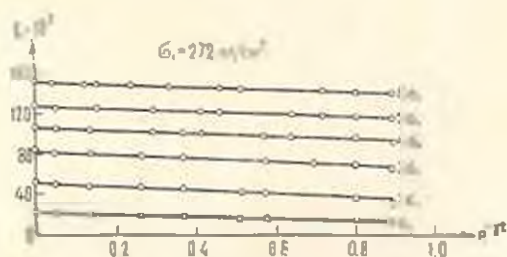
где B и γ — неизвестные параметры. Начало отсчета времени t принимается с момента приложения нагрузки, этим (5.1) отличается от исходного. При этом уже условный возраст T является неизвестным параметром отрицательного знака.

Без вычисления значений параметров B , γ и T можно проверить пригодность соотношения (5.1) для описания ползучести волокна еранит и этим доказать справедливость вышеупомянутых предположений. Для этого, преобразуя (5.1), имеем

$$z(t) = A_1 - B_1 \exp(-\gamma t) \quad (5.2)$$

где $A_1 = Bz$, $B_1 = Bz \exp(\gamma T)$.

При $\varepsilon = \text{const}$ (5.2) представит уравнение прямой линии с текущими координатами $\exp(-\gamma t)$ и $z(t)$. Если между экспериментальными значениями t и $z(t)$ существует зависимость типа (5.2), то между $\exp(-\gamma t)$ и $z(t)$ при фиксированном γ должна существовать прямолинейная зависимость. Действительно, при нанесении опытных точек на координатную сетку с осями $\exp(-\gamma t)$ и $z(t)$, они настолько точно лежат на указанной прямой (фиг. 4), что нет надобности количественной оценки расхождения. Этим доказывается достаточная точность представления процесса простой ползучести волокна еранит соотношением (5.1).



Фиг. 4.

Незначительные отклонения опытных точек при малых значениях времени от точек теоретической прямой (фиг. 4) отчасти объясняются близостью порядка начальных перемещений волокна к погрешности катетометра КМ 6.

Для вычисления вероятнейших значений параметров B , γ и t на экспериментальной кривой ползучести (фиг. 5) берутся 4 точки с координатами (z_1, t_1) , (z_2, t_2) , (z_3, t_3) и (z_4, t_4) , расположенными так, чтобы выполнялись условия

$$t_2 - t_1 = t_3 - t_2 \quad \text{и} \quad t_1 > t_2 > t_3 > t_4 \quad (5.3)$$

Тогда из системы трансцендентных уравнений, написанной для каждого нагружения $\varepsilon = \text{const}$,

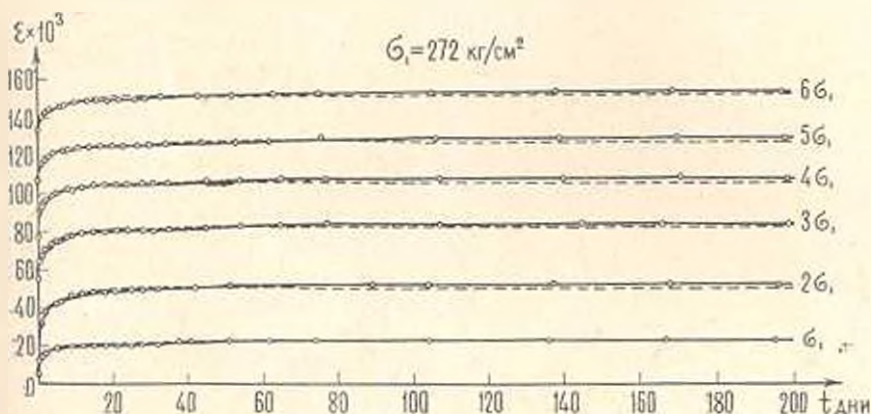
$$z(t_i) = Bz \{1 - \exp[-\gamma (t_i - T)]\}, \quad (i = 1, 2, 3, 4) \quad (5.4)$$

и из условия (5.3) искомые значения параметров будут

$$B = \frac{\varepsilon_2 t_2 - \varepsilon_1 t_1}{\gamma (\varepsilon_2 + \varepsilon_1 - \varepsilon_2 - \varepsilon_1)}, \quad \gamma = \frac{1}{t_2 - t_1} \ln \left(\frac{B\varepsilon_2 - \varepsilon_1}{B\varepsilon_1 - \varepsilon_2} \right)$$

$$T = t_1 + \frac{1}{\gamma} \ln \left(\frac{B\varepsilon_2 - \varepsilon_1}{B\varepsilon_1 - \varepsilon_2} \right)$$

Равноточные прямые измерения t и $\varepsilon(t)$, а также достаточная точность представления ползучести волокна функцией (5.1) практически обеспечивают совместность уравнений системы (5.4).



Фиг. 5.

По вычисленным значениям параметров были построены теоретические кривые ползучести (пунктирные линии фиг. 5). Кривые простой ползучести ($\sigma = \text{const}$) не могут полностью выявить характер функции ползучести. Основная функция ползучести должна обеспечить определение закона изменения деформаций по заданному закону нагружения, и наоборот [15].

Для различных напряжений $\sigma_1 \ll \sigma_2 \ll 0.5 \sigma_k$ значения параметров B , γ и T мало отличаются от своих средних значений, как это видно из фиг. 6. Коэффициент вариации параметра T меньше, чем коэффициент вариации предела прочности волокна ерланит σ_k .

Таким образом, исходя из средних значений параметров ползучести (фиг. 6), получим окончательное выражение ползучести волокна ерланит

$$\varepsilon(t) = 9.3 \cdot 10^{-5} [1 - 0.15(-0.11t)] \tag{5.5}$$

В отличие от наследственной теории ползучести, из (5.5) следует, что $\varepsilon(0) \neq 0$, поскольку в начальный момент нагружения возникает не только упруго-мгновенная, но и мгновенная высокоэластическая деформация. Существование последней (в течение первых 30 сек) явно вытекает из графиков ползучести (фиг. 4,5). При $t=0$ из (5.5) получается значение мгновенной высокоэластической деформации

$$\varepsilon(0) = B\varepsilon [1 - \exp(-\gamma T)] = 7.9 \cdot 10^{-5} \varepsilon$$

Для максимального значения деформации ползучести при $t \rightarrow \infty$ имеем

$$\varepsilon(\infty) = B\varepsilon = 9.3 \cdot 10^{-5} \varepsilon$$

При этом $\frac{\varepsilon(\infty) - \varepsilon(0)}{\varepsilon(\infty)} 100 = 15\%$. Следовательно, важной особенностью ползучести волокна еранит является большое значение мгновенной эластической деформации. Другой особенностью деформации ползучести, вытекающей из (5.2), является неинвариантность относительно начала отсчета времени.



Фиг. 6.

Для более наглядного представления механической сущности деформации ползучести волокна еранит рассмотрена линейная трехэлементная модель этого явления [16], которая состоит из двух Гуковских пружин жесткостью k_1 и k_2 и ньютоновского вязкого элемента с вязкостью η . Применяя к этой модели закон упругости Гука и закон вязкости Ньютона, получим следующее соотношение ползучести [11]:

$$\varepsilon(t) = \frac{E}{lk_2} \left\{ 1 - \frac{k_1}{k_1 + k_2} \exp \left[- \frac{k_2 k_2}{\eta(k_1 + k_2)} t \right] \right\} \quad (5.6)$$

Как следует из (5.17) и (5.6), параметры ползучести волокна будут выражаться через характеристики модели следующим образом:

$$B = \frac{E}{lk_2}, \quad \gamma = \frac{k_2 k_2}{\eta(k_1 + k_2)}, \quad T = \frac{\eta(k_1 + k_2)}{k_1 k_2} \ln \left(\frac{k_1}{k_1 + k_2} \right)$$

Важными результатами механического исследования волокна еранит являются следующие.

1. Волокно еранит обладает большой мгновенной высокоэластической деформацией, которая хотя возникает мгновенно, но затухает весьма медленно.

2. Ползучесть волокна еранит, как высокоориентированного полимера, достаточно точно описывается модифицированной функцией ползучести Н. Х. Арутюняна.

3. Особенностью деформации ползучести волокна еранит является неинвариантность относительно начала отсчета времени.

В проведении экспериментов и в обработке результатов приняла участие И. А. Домбаева.

Ք. Տ. ԱՌԱՔԵԼՅԱՆ

ԵՐԱՆԻՏ ԵՐԱՆՐԱՔԵԼԻ ԵՐԿԱՐԱԿՑՈՒԹՅՈՒՆՆԸ ԵՎ ՍՈՂՔԸ

Ա մ փ ո փ ո ս

Ուսումնասիրվում է՝ սյուրիփինիլ սպիրտի հիման վրա ստացված, նոր սինթետիկ մանրաթելի՝ երանիտի, մեխանիկական հասկությունները:

Ֆիկսացված սեծիմի, հաստատուն ջերմաստիճանի և խոնավության պայմաններում, սրտչված և ն մանրաթելի սովորական մեխանիկական բնորոշիչները, լարման և ղեֆորմացիայի կախվածության անալիտիկ արտահայտությունը (2.4): Վերջինիս հիման վրա, հաշվված է ղեֆորմացիայի աշխատանքը:

Բերված է՝ մանրաթելի ստատիկական հսգնածությունը բնորոշող աննշությունը (3.2), որը հնարավորություն է տալիս կանխատեսելու նրա երկարակեցությունը:

Նրանիտ մանրաթելի սողքի փորձարկումները կատարվել են՝ հեղինակի կողմից նախագծված, հասուկ սարքի միջոցով: Ցույց է տրված, որ երանիտ մանրաթելի սողքը, որպես բարձր օրինաացիայի ենթարկված սյուրիմերի, բավարար ճշտությամբ նկարագրվում է Ե. Խ. Հարությունյանի մոդիֆիկացված գծային սողքի ֆունկցիայով (5.5):

T. T. ARAKELIAN

LONGEVITY AND CREEP OF FIBRE YERANIT

S u m m a r y

The mechanical properties of the new synthetic fibre Yeranit are investigated.

The static tiredness of elementary fibre Yeranit is presented by the relation of W. Bysse and G. Gurevich.

The creep of fibre Yeranit is described quite exactly by the modified function of creep of N. Kh. Arutyunian.

Л И Т Е Р А Т У Р А

1. Акопян А. Е. Синтетическое волокно на основе поливинилового спирта. Армгосиздат, Ереван, 1961.
2. Карим В. А., Слоновский Г. А. Краткие очерки по физико-химии полимеров. Изд. 2-ое, М., 1967.
3. Кукин Г. Н. Современные методы испытания текстильных материалов. ЦИИТИЛП, М., 1961.
4. Кукин Г. Н., Соловьев А. И. Текстильное материаловедение, ч. II. Изд. „Легкая индустрия“, М., 1964.
5. Bysse W., Lessing E., Loughborough D., Lortik L. I. Appl. Phys. 13, 715 (1942).
6. Гуревич Г. И. Ж. техн. физики, 17, 1491, 1947.
7. Жуков С. Н., Нарзюлая Б. Н. Ж. техн. физики, 23, вып. 10, 1677, 1953.
8. Жуков С. Н., Томишевский Э. Е. Ж. техн. физики, 23, вып. 1, 66, 1955.

9. Некоторые проблемы прочности твердого тела. Сб. статей, посвященный восьмидесятилетию академика АН Укр.ССР Н. Н. Давиденкова. Изд. АН СССР, М.—Л., 1959.
10. Бартенко Г. М., Зуев Ю. С. Прочность и разрушение высокоэластических материалов. Изд. «Химия», М.—Л., 1964.
11. Усталость высокополимеров. Обзоры и переводы. Госнаучтехиздат хим. лит., М., 1957.
12. Гуль В. Е., Кулезнев В. Н. Структура и механические свойства полимеров. Изд. «Высшая школа», М., 1966.
13. Ферри Дж. Вязкоупругие свойства полимеров. ИЛ, М., 1963.
14. Арутюнян Н. Х. Некоторые вопросы теории ползучести. Гостехиздат, М., 1952.
15. Вульфсон С. В. Некоторые вопросы теории ползучести (ЦНИКС). Диссертация, М., 1964.
16. Упругость и неупругость металлов. Сб. ИЛ, М., 1954.

ՄԻՍՅՄՈ Վ ՐԵԴԱԿՑԻՅՈ

Վ նախի ստաթե «Օ զւոս ինտեգրալնոս սրաւնոս, վստրեաոսիս յ տեորի սրոսոստի», օսոսկոսոանոս Վ Իսւեստիս ԱՆ Արմյանսոսոսոսոս ԿՍՐ, Մեխանիկա, տ. 19, № 1, 1966 տ., իսսեճոսոալօս ինտեգրալնօս սրաւնօս յտօրօս ռօճա ս յաճօս $k(x, y)$ $0 < x, y < 1$.

Րեալոսնօս սոսոսյաոստօս ինտեգրալնօս սրաւնօս ճիլօ սւեճօնօս կ սօոտնօսնօսնոս (1.9)–(1.10), ոստօրօս տրաոտալոսնօս նաոս կաոս սրաւնօս ճաճաոս Գիլբերտի-Րրիւալօւա. Օճոսոս, տաոսա տրաոտոկա ճիլօ օաիճօոոոոս ոս վսեճսոստօս սրօսոս սօս սօլսոսոսնօսնօս Վ սոսանօսնօս ռաճօս ռեզսլտաոս նեոսրնօս.

Վ լիոսոս ճեսեճօ Մ. Գ. Կրեյն յոսնօսնօս սոսանօս նաոս նա յտօ օստօյաոստօստօս ոս ճալ սրա յեոննօս սօսետօս յօ ճաոսնօս սոսրօս.

Յա սրօս սրիոսոսս ճլոսոսոսա ճլօոսաճարոստօս սրօփեսօսօսրս Մ. Գ. Կրեյնս.

ԵԱԵԼՕԻՆ Ա. Ա.